

## Sensoriamento Remoto

Texto

Cópias

# Sensoriamento Remoto do Ambiente: Uma Perspectiva em Recursos Terrestres

*Tradução da Segunda Edição*

**John R. Jensen**

*University of South Carolina*

### TRADUÇÃO:

JOSÉ CARLOS NEVES EPIPHANIO (Coordenador) - INPE  
ANTONIO ROBERTO FORMAGGIO - INPE  
ATHOS RIBEIRO DOS SANTOS - INPE  
BERNARDO FRIEDRICH THEODOR RUDORFF - INPE  
CLÁUDIA MARIA DE ALMEIDA - INPE  
LÊNIO SOARES GALVÃO - INPE



São José dos Campos, SP, Brasil  
2009  
[www.parentese.com.br](http://www.parentese.com.br)

## Sensoramento Remoto do Ambiente



### Coleta de Dados *In Situ*

Um tipo de coleta de dados *in situ* envolve o cientista indo ao campo e que se comunica com características demográficas da população.

Por outro lado, um cientista pode usar um transdutor ou outro dispositivo de medida a umidade do ar. Os dados gravados pelos transdutores podem ser usados para medir a umidade do ar. Um transdutor analógico com variações de voltagem relacionadas à intensidade elétrica analógica com variações de voltagem relacionadas à intensidade digital (conversão A-D). A coleta de dados *in situ* usando transdutores analógicos formados em válvulas digitais procedimentos de conversão analógico-digital (conversão A-D).

Dois exemplos de coleta de dados *in situ* são demonstrados na Figura 1-1. As medidas de área de folha (A/F) estão sendo coletradas por um cientista efetuando uma medição espacial portátil da vegetação e estudo de campo das de A/F e reflectância espacial obtidas no campo por um sistema de sensoramento remoto localizado numa aeronave ou num satélite (Jensen et al., 2005).

O sensoramento remoto é a coleta de dados de um ambiente ou sistema de forma não invasiva, sem interferir no ambiente ou sistema. O sensoramento remoto é dividido em dois tipos principais: sensoramento remoto direto e sensoramento remoto indireto.

O sensoramento remoto direto é quando os dados são obtidos diretamente de um ambiente ou sistema.

O sensoramento remoto indireto é quando os dados são obtidos indiretamente de um ambiente ou sistema.

O sensoramento remoto direto é dividido em sensoramento remoto direto direto e sensoramento remoto indireto.

O sensoramento remoto indireto é dividido em sensoramento remoto indireto direto e sensoramento remoto indireto indireto.

O sensoramento remoto direto direto é quando os dados são obtidos diretamente de um ambiente ou sistema.

O sensoramento remoto direto indireto é quando os dados são obtidos indiretamente de um ambiente ou sistema.

O sensoramento remoto indireto direto é quando os dados são obtidos diretamente de um ambiente ou sistema.

O sensoramento remoto indireto indireto é quando os dados são obtidos indiretamente de um ambiente ou sistema.

O sensoramento remoto direto é dividido em sensoramento remoto direto direto e sensoramento remoto direto indireto.

O sensoramento remoto indireto é dividido em sensoramento remoto indireto direto e sensoramento remoto indireto indireto.

O sensoramento remoto direto direto é quando os dados são obtidos diretamente de um ambiente ou sistema.

O sensoramento remoto direto indireto é quando os dados são obtidos indiretamente de um ambiente ou sistema.

O sensoramento remoto indireto direto é quando os dados são obtidos diretamente de um ambiente ou sistema.

O sensoramento remoto indireto indireto é quando os dados são obtidos indiretamente de um ambiente ou sistema.

O sensoramento remoto direto é dividido em sensoramento remoto direto direto e sensoramento remoto direto indireto.

O sensoramento remoto indireto é dividido em sensoramento remoto indireto direto e sensoramento remoto indireto indireto.

O sensoramento remoto direto direto é quando os dados são obtidos diretamente de um ambiente ou sistema.

O sensoramento remoto direto indireto é quando os dados são obtidos indiretamente de um ambiente ou sistema.

O sensoramento remoto indireto direto é quando os dados são obtidos diretamente de um ambiente ou sistema.

O sensoramento remoto indireto indireto é quando os dados são obtidos indiretamente de um ambiente ou sistema.

O sensoramento remoto direto é dividido em sensoramento remoto direto direto e sensoramento remoto direto indireto.

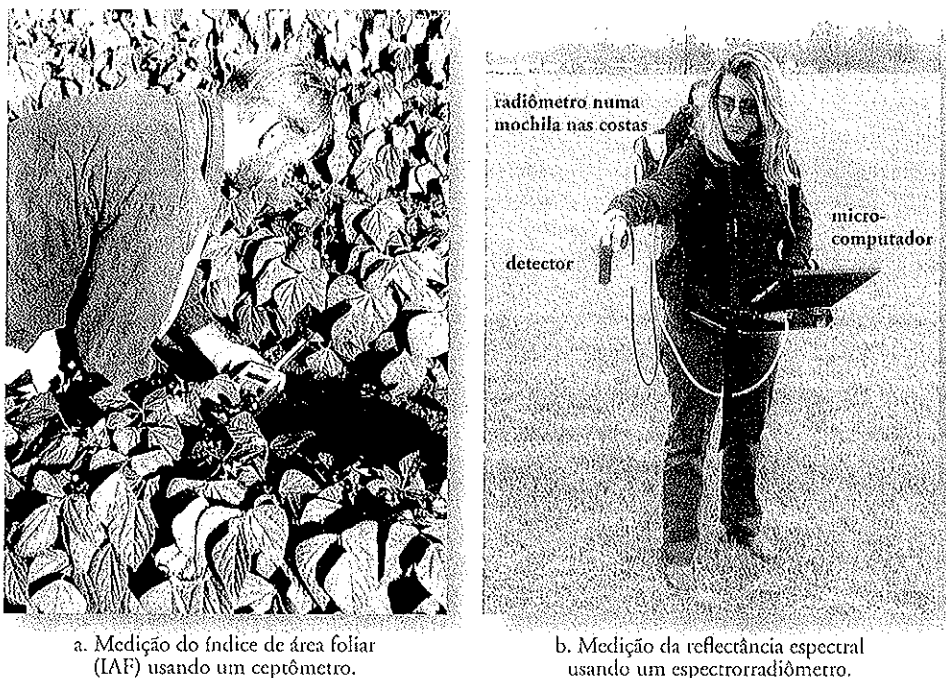
O sensoramento remoto indireto é dividido em sensoramento remoto indireto direto e sensoramento remoto indireto indireto.

O sensoramento remoto direto direto é quando os dados são obtidos diretamente de um ambiente ou sistema.

O sensoramento remoto direto indireto é quando os dados são obtidos indiretamente de um ambiente ou sistema.

O sensoramento remoto indireto direto é quando os dados são obtidos diretamente de um ambiente ou sistema.

O sensoramento remoto indireto indireto é quando os dados são obtidos indiretamente de um ambiente ou sistema.

Medição *In Situ*

a. Medição do índice de área foliar (IAF) usando um ceptômetro.

b. Medição da reflectância espectral usando um espectrorradiômetro.

**Figura 1-1** Dados *in situ* (no local) são coletados no campo. a) Um pesquisador está coletando medidas de índice de área foliar (IAF) de soja (*Glycine max* L. Merrill) usando um ceptômetro, que mede o número de regiões do substrato que foram iluminadas diretamente sem interceptação pelo dossel vegetal. As medições são feitas bem acima do dossel e no solo, sob o dossel. As medidas de IAF *in situ* podem ser usadas para calibrar as estimativas de IAF derivadas de dados de sensores remotos. b) Medidas de reflectância espectral de vegetação estão sendo coletadas usando um espectrorradiômetro colocado a aproximadamente 1 m acima do dossel. As medidas de reflectância espectral *in situ* podem ser usadas para calibrar medidas de reflectância espectral obtidas por um sistema de sensoriamento remoto.

As coletas de dados pelos cientistas no campo ou por instrumentos colocados no campo fornecem muitos dos dados para as pesquisas científicas físicas, biológicas e sociais. Entretanto, é importante lembrar que não importa quão cuidadoso seja o cientista, erros podem ser introduzidos durante o processo de coleta de dados *in situ*. Primeiro, no campo o cientista pode ser um *intruso*. Isso significa que a menos que seja tomado um grande cuidado, o cientista pode realmente alterar as características do fenômeno sendo medido durante o processo de coleta de dados. Por exemplo, um cientista pode inclinar-se de um barco para obter uma amostra de água-superficial de um lago. Infelizmente, o movimento do barco na área de estudo pode ter mexido a coluna d'água nas vizinhanças da amostra de água, resultando numa amostra não-representativa, ou *viesada*. De forma similar, um cientista fazendo uma medição de reflectância espectral poderia inadvertidamente pisar no local da amostragem, alterando o dossel vegetal antes da coleta de dados.

Os cientistas também podem coletar dados no campo usando procedimentos viesados. Isso introduz o *erro produzido pelo método*. Ele pode envolver o uso de um delineamento

amostral viesado, ou o uso impróprio e sistemático de uma parte do equipamento. Finalmente, o dispositivo de medição para coleta de dados *in situ* pode estar calibrado incorretamente. Isso pode resultar em sérios erros de medição.

A intrusão na coleta de dados *in situ*, junto com o erro humano produzido pelo método e a má calibração do equipamento de medição, todos contribuem para o erro na coleta de dados *in situ*. Portanto, é impróprio referir aos dados *in situ* como *dados de verdade terrestre*. Em seu lugar, deveríamos simplesmente referir a eles como *dados de referência terrestre in situ*, reconhecendo que eles contêm erros.



## Coleta de Dados por Sensoriamento Remoto

Felizmente, também é possível coletar informação sobre um objeto ou área geográfica a partir de um ponto distante privilegiado usando instrumentos de *sensoriamento remoto* (Figura 1-2). A coleta de dados por sensoriamento remoto foi originalmente feita usando câmeras montadas

(Colwell, 1997), Evelyn Pruitt (1979) escreveu: "fotografia, literamente significa „escrever com luz [visual]“"sendo muito orgulho em visita do fato de que a palavra raios no final dos anos 1950 estava clara que o prefixo "foto" estava proximo (p.ex., infravermelho terrena e micro-ondas). Assim, especrro clorofotométrico além do visível e do infravermelho esparsas (p.ex., escuras, radônio, etc.) e aluminigênio são exemplo de nitradas (p.ex., escâneres, radiômetros) e aluminigênio remoto sensibilizado suas pressões usadas instrumentos além da cláusula 1-1). Além disso, o Grupo de Geografia do ONU estava cargo secreto programa CORONA lançado em 1960 (Tablet, 1958) com a colégio de fotografias do campo de fotografias com os lançamentos do Spurwink (U.R.S.S.) em 1957, do Ex-Herrera Mundial. A essa especial extrema apena importante na fotointerpretação área é membro do grupo. A foto-H. Bailey era seu colaborador e membro do grupo. Waller et al., 1986), Evelyn L. Pruitt era a autora do artigo. Russell Research (ONR) Geophysics Branch (Pruitt, 1979; Russell Research dos anos 1960 feito pelo grupo do Office of Naval Comunicação do território interna um artigo não-publicado do fotogrametria e sensoriamento remoto? A real

reas sem contar fisico (Colwell, 1997). padões de energia derivados de sistemas senso-preatagão de imagens representações digitais dos meios de processado de registro, medição, e inter-conflável sobre objetos físicos e o ambiente para arte, clínica e tecnologia de obter informações aéreas, clínica e sensoriamento remoto são a fotogrametria e sensoriamento remoto? A real

Fotoamericana e sensoriamento remoto: Em 1988, ASPRS adotou uma definição combinada de

estudo (Colwell, 1983). Fotogrametria com o objetivo ou fenômeno em dispositivo de registro que não está em contato direto com o objeto ou fenômeno, por um dispositivo de um objeto ou fenômeno de alguma maneira ou aquela de informação de imagem de como:

Sensoriamento remoto foi formalmente definido pela American Society for Photogrammetry and Remote Sensing (ASPRS) como:

de identificar objetos e julgar sua significância a auto de examinar imagens fotográficas para fins (Colwell, 1996).

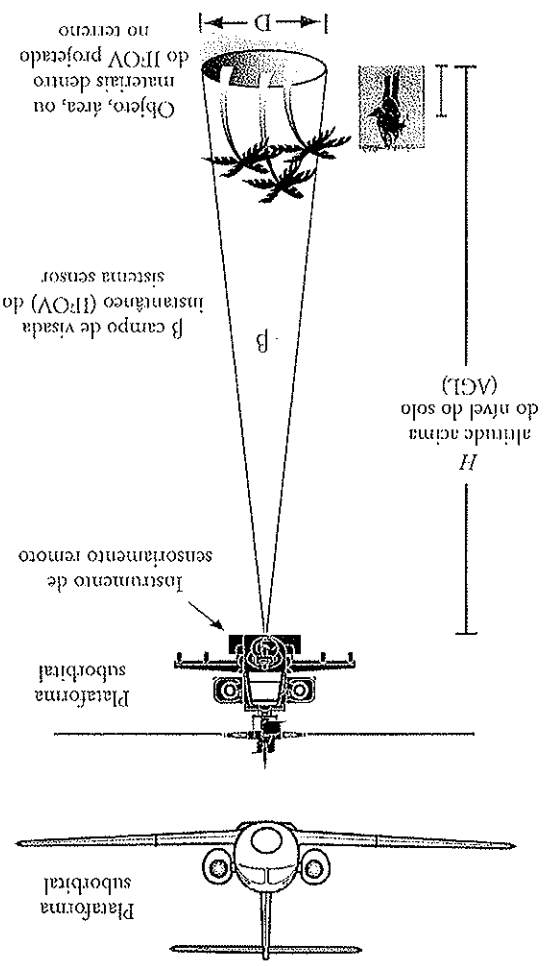
interpretar fotografia é definida como: a arte ou ciência de obter medidas confiáveis por meio da fotografia (American Society of Photogrammetry, 1952; 1966).

principais edifícies do Manual of Photogrammetry como:

em aeronaves suborbitais. A fotogrametria foi definida nas

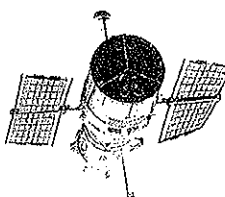
Figura 1-2 Um instrumento de sensoriamento remoto coleto de uma aeronave ou de um satélite. calzado a apesar poucos metros acima do solo ou a instrumento de sensor remoto pode estar longe. O sensor scm certa com contato físico direto com el. O campo de visada instrumento (IFOV) do sistema de campo de visada ou cenário dentro informado sobre um objeto ou cenário dentro

projeto no terreno



Medições por Sensoriamento Remoto

Coleta de Dados por Sensoriamento Remoto



Plataforma orbital

Plataforma

Plataforma

Todo o campo estava avançando e era difícil para o Programa de Geografia saber em que direção se mover. Finalmente, em 1960, foi decidido levar o problema ao Comitê Assessor. Eu e o Walter H. Bailey ponderamos por um longo tempo sobre como apresentar a situação e sobre como denominar o campo mais abrangente que sentímos deveria ser encampado num programa para substituir o projeto de fotointerpretação aérea. O termo “fotografia” era muito limitado porque ele cobria as regiões do espectro eletromagnético além da faixa do “visível”, e era nessas frequências não-visíveis que parecia estar o futuro da interpretação. “Aérea” também estava muito limitada em função do potencial para observar a Terra a partir do espaço.

O termo *sensoriamento remoto* foi promovido numa série de simpósios patrocinados pelo ONR nos Laboratórios Willow Run da Universidade de Michigan em conjunto com o National Research Council durante os anos 1960s e inícios dos 1970s, e desde então tem sido usado (Estes e Jensen, 1998).

### Definições Máximas/Mínimas

Numerosas outras definições de sensoriamento remoto têm sido propostas. De fato, Colwell (1984) sugere que “uma medida de quão nova uma ciência é, ou da rapidez com a qual está se desenvolvendo, está na preocupação dos seus cientistas com assuntos de terminologia.” Alguns têm proposto uma *definição máxima* globalizante:

Sensoriamento remoto é a aquisição de dados sobre um objeto sem tocá-lo.

Tal definição é curta, simples, geral e memorizável. Infelizmente, ela exclui pouco da esfera do sensoriamento remoto (Fussel et al., 1986). Ela abrange virtualmente todos os dispositivos de sensoriamento remoto, incluindo câmeras, escâneres opto-mecânicos, dispositivos de imageamento lineares ou matriciais, lasers, sistemas de radar, sonares, sismógrafos, gravímetros, magnetômetros e cintilômetros.

Outros têm sugerido uma *definição mínima*, mais focada de sensoriamento remoto, que adicione qualificadores e mais qualificadores numa tentativa de assegurar que apenas funções legítimas sejam incluídas na definição do termo. Por exemplo:

Sensoriamento remoto é o registro da informação das regiões do ultravioleta, visível, infravermelho e micro-ondas do espectro eletromagnético, sem contato, por meio de instrumentos tais como câmeras, escâneres, lasers, dispositivos

lineares e/ou matriciais localizados em plataformas tais como aeronaves ou satélites, e a análise da informação adquirida por meio visual ou processamento digital de imagens.

Robert Green, do JPL (Jet Propulsion Laboratory), da NASA (National Aeronautics and Space Administration), sugere que o termo *medição remota* poderia ser usado ao invés de *sensoriamento remoto* porque os dados obtidos usando os novos sistemas de sensoriamento remoto hiperespectral são muito precisos (Robbins, 1999). Cada uma das definições é correta num contexto apropriado. É útil discutir brevemente os componentes dessas definições de sensoriamento remoto.

### Sensoriamento Remoto: Arte e/ou Ciência?

**Ciência:** Uma *ciência* é definida como um grande campo do conhecimento humano interessado em fatos unidos por *princípios* (regras). Os cientistas descobrem e testam fatos e princípios pelo método científico, um sistema ordenado para solução de problemas. Geralmente, os cientistas consideram que qualquer assunto que o ser humano possa estudar usando o método científico e outras regras especiais de pensamento possa ser chamado de uma ciência. As ciências incluem: 1) *matemática e lógica*, 2) *ciências físicas*, tais como a física e a química, 3) *ciências biológicas*, tais como a botânica e a zoologia, e 4) as *ciências sociais*, tais como a geografia, sociologia e antropologia (Figura 1-3). É interessante que algumas pessoas não considerem a matemática e a lógica como ciências. Mas os campos do conhecimento associados com a matemática e a lógica são *ferramentas* tão valiosas para a ciência que não podemos ignorá-las. As primeiras questões da raça humana estavam ligadas ao “quanto” e ao “o que pertence ao mesmo conjunto.” Eles lutaram para contar, para classificar, para pensar sistematicamente e para descrever precisamente. Sob muitos aspectos, o nível de desenvolvimento de uma ciência é indicado pelo uso que faz da matemática. Uma ciência parece começar com uma matemática simples para medir, depois trabalha em direção a uma matemática mais complexa para explicar.

O sensoriamento remoto é uma ferramenta ou técnica similar à matemática. O uso de sofisticados sensores para medir a quantidade de energia eletromagnética que emana de um objeto ou área geográfica à distância, e depois a extração de informação importante dos dados usando algoritmos baseados em matemática e estatística é uma atividade *científica* (Fussell et al., 1986). O sensoriamento remoto funciona em harmonia com outras ciências da informação geográfica (frequentemente chamadas de *GIScience*), incluindo cartografia, levantamento, e sistemas de informações geográficas (GIS) (Curran, 1987; Clarke, 2001; Jensen, 2005). Dahlberg e Jensen (1986) e Fisher e Lindenbergh (1989) sug-

**Artic:** O processo de interpretar a visão visual de uma foto ou todo o conhecimento que uma pessoa obtive durante toda a imagem exige não apenas conhecimento científico, mas também o conhecimento que uma pessoa pôde ter ao longo de sua vida.

Revistas com revisão pelos pares todo mês. A revista científica é sensível a mudanças sociais. Centenas de novos artigos são publicados em revistas científicas, como revistas de sensoriamento remoto, revistas de cartografia, revistas de medicina, revistas de biologia, revistas de geografia e revistas de ciências sociais. As características das revistas científicas são: a) uma ampla base de leitores; b) uma taxa alta de publicações; c) uma taxa alta de citações; d) uma taxa alta de aceitação de artigos; e) uma taxa alta de índice de impacto.

Figura 1-4 ilustra a evolução da disciplina científica de 1960 a 2005. A evolução da disciplina científica pode ser dividida em quatro etapas: 1) a evolução da ciência médica (1960-1985); 2) a evolução da ciência social (1985-2005); 3) a evolução da ciência ambiental (2005-2025); 4) a evolução da ciência planetária (2025-2100).

Uma das principais tendências da disciplina científica é a diversificação das áreas de estudo. De acordo com a Tabela 1-1, 2005, existem cerca de 50 mil disciplinas científicas no mundo, com um crescimento médio anual de 2%.

Uma das principais tendências da disciplina científica é a diversificação das áreas de estudo. De acordo com a Tabela 1-1, 2005, existem cerca de 50 mil disciplinas científicas no mundo, com um crescimento médio anual de 2%.

Figura 1-4. Estadios de desenvolvimento de uma disciplina científica.

Jeca (Wolter, 1975; Jelinek e Dahlberg, 1983).

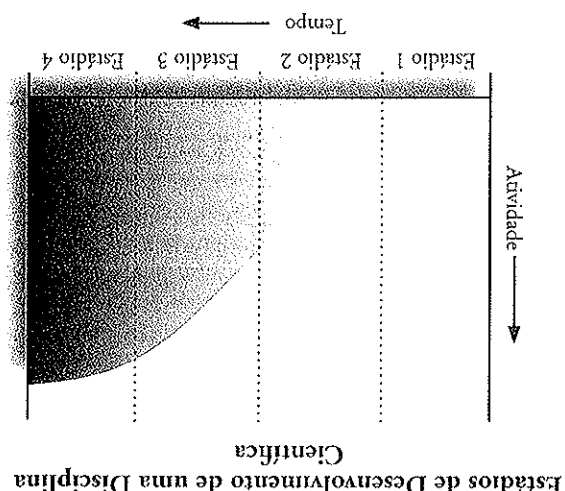


Figura 1-3 ilustra a interação entre sensoriamento remoto, cartografia, biologia, matemática e logística. A figura mostra uma curva sinuosa que conecta cinco círculos: Sensoriamento Remoto, Geografia, Biologia, Matemática e Logística. As interações entre os cinco domínios são representadas por setas. A interação mais intensa ocorre entre Sensoriamento Remoto e Geografia.

Figura 1-3. Módulo de interação mostrando a relação entre sensoriamento remoto, cartografia, biologia, matemática e logística.

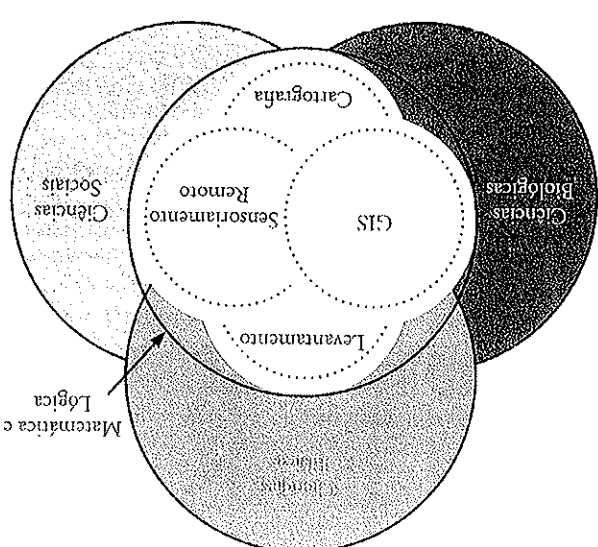


Tabela 1-1. Principais marcos do sensoriamento remoto.

1600 e 1700s	
1687 – O livro <i>Principia</i> <sup>1</sup> de Sir Isaac Newton sumariza as leis básicas da mecânica	
<b>1800s</b>	
1826 – Joseph Nicéphore Nièpce tira a primeira fotografia	
1839 – Louis M. Daguerre inventa o daguerreótipo para impressão em positivo da fotografia	
1839 – William Henry Fox Talbot inventa o processo negativo/positivo chamado Calotípico	
1855 – James Clark Maxwell postula a teoria aditiva da cor	
1858 – Gaspard Félix Tournachon tira uma fotografia aérea a partir de um balão	
1860s – James Clark Maxwell desenvolve a teoria eletromagnética ondulatória	
1867 – O termo fotogrametria é usado num trabalho publicado	
1873 – Herman Vogel estende a sensibilidade dos pigmentos da emulsão a comprimentos maiores, abrindo o caminho para a fotografia no infravermelho próximo	
<b>1900s</b>	
1903 – O avião <sup>2</sup> é inventado pelos Irmãos Wright (17 de dezembro)	
1903 – Alfred Maul patenteia a câmera para obter fotografias a partir de um foguete	
<b>1910s</b>	
1910 – A Sociedade Internacional de Fotogrametria (International Society for Photogrammetry – ISP) é fundada na Áustria	
1913 – Primeiro Congresso Internacional da ISP em Viena	
1914 a 1918 – Foto-reconhecimento na I Guerra Mundial (I GG)	
<b>1920s</b>	
1920 a 1930 – Aumento da fotointerpretação e fotogrametria civil	
1926 – Robert Goddard lança o primeiro foguete movido a combustível líquido (16 de março)	
<b>1930s</b>	
1934 – Fundação da Sociedade Americana de Fotogrametria (American Society of Photogrammetry – ASP)	
1934 – Surge a revista Photogrammetric Engineering (ASP)	
1938 – Surge a revista Photogrammetria (ISP)	
1939 a 1945 – Avanços no foto-reconhecimento durante a II Guerra Mundial	
<b>1940s</b>	
1940s – Invenção do RADAR	
1940s – Invenção do avião a jato pela Alemanha	
1942 – A Kodak patenteia o primeiro filme infravermelho falso-cor	
1942 – Lançamento do foguete Alemão V-2 por Wernher Von Braun (3 de outubro)	
<b>1950s</b>	
1950s – Invenção do sensoriamento remoto no infravermelho termal pelos militares	
1950 a 1953 – Reconhecimento aéreo na Guerra da Coreia	

<sup>1</sup>Há tradução em português, pela editora EDUSP, com o título *Principia – Livro 1: princípios matemáticos de filosofia* (N.T.).

<sup>2</sup>Santos Dumont foi o primeiro a decolar a bordo de um avião impulsionado por um motor aeronáutico. Foi o primeiro a cumprir um circuito pré-estabelecido sob testemunho oficial de especialistas, jornalistas e da população parisiense. Em 23 de outubro de 1906, voou cerca de 60 metros e a uma altura de dois a três metros com seu 14 Bis, no Campo de Bagatelle em Paris (N.T.).

Tabela 1-1. Continuação.

1950s	
1953 – Surge a revista Photogrammetric Record (Photogrammetric Society, Inglaterra)	
1954 – A Westinghouse, Inc., desenvolve o sistema de radar de visada lateral aerotransportado	
1955 a 1956 – Programa Norte-Americano Genetrix de reconhecimento por balão	
1956 a 1960 – Programa da Agência Central de Inteligência (CIA) de reconhecimento com aviões U-2	
1957 – A União Soviética lança o satélite Sputnik (4 de outubro)	
1958 – Os Estados Unidos lançam o satélite Explorer 1 (31 de janeiro)	
<b>1960s</b>	
1960s – Ênfase principal no processamento visual de imagens	
1960s – Ativação do Laboratório de Michigan Willow Run – que evoluiu para o ERIM (Environmental Research Institute of Michigan – Instituto de Pesquisa Ambiental de Michigan)	
1960s – Primeiro International Symposium on Remote Sensing of Environment em Ann Arbor, Michigan	
1960s – Ativação do Laboratório para Sensoriamento Remoto Agrícola de Purdue (LARS – Purdue Laboratory for Agricultural Remote Sensing)	
1960s – Laboratório de Sensoriamento Remoto Florestal na Universidade da Califórnia, em Berkeley (Robert Colwell)	
1960s – ITC – em Delft, Holanda, começa a educação fotogramétrica para estudantes estrangeiros	
1960s – Iniciou-se o processamento de imagens digitais no LARS, em Berkeley, Kansas, no ERIM	
1960s – Desclassificação (militar para civil) dos sistemas sensores de radar e infravermelho termal	
1960-1972 – Programa Norte Americano de satélites espiões CORONA	
1960 – Manual of Photo-interpretation (ASP)	
1960 – O termo “remote sensing” (sensoriamento remoto) é introduzido por Evelyn Pruitt e pelo pessoal do U. S. Office of Naval Research	
1961 – Yuri Gagatin torna-se o primeiro homem a viajar ao espaço	
1961-1963 – Programa espacial Mercury	
1961 – Decreto presidencial cria o GOCNAE (Grupo de Organização da Comissão Nacional de Atividades Espaciais), embrião do INPE, no Brasil	
1962 – Crise dos Mísseis Cubanos – foto-reconhecimento pelo U-2 é apresentado ao público	
1964 – O SR-71 é apresentado pelo Presidente Lyndon Johnson numa coletiva de imprensa	
1965-1966 – Programa espacial Gemini	
1965 – ISPRS Journal of Photogrammetry & Remote Sensing	
1969 – Remote Sensing of Environment (Elsevier)	
1969 – Início das atividades de sensoriamento remoto no INPE	
<b>1970s</b>	
1970s, 80s – É possível a especialização em sensoriamento remoto nas universidades	
1970s – Florescimento do processamento digital de imagens	
1970s – Sensoriamento remoto integrado com sistemas de informações geográficas	
1972 – ERTS-1 (Earth Resources Technology Satellite, posteriormente re-batizado como Landsat) lançado (NASA)	



### Informação Sobre um Objeto ou Área

Os sensores podem obter uma informação muito específica sobre um objeto (p.ex., o diâmetro da copa de um carvalho) ou a extensão de um fenômeno geográfico (p.ex., o limite poligonal de toda uma floresta de carvalho). A energia eletromagnética emitida ou refletida por um objeto ou área geográfica é usada como um substituto da propriedade real sob investigação. As medições da energia eletromagnética devem ser convertidas em informação usando técnicas visuais e/ou técnicas de processamento digital de imagens.

### O Instrumento (Sensor)

O sensoriamento remoto é realizado usando um instrumento, frequentemente chamado de *sensor*. A maioria dos instrumentos de sensoriamento remoto registram a REM (radiação eletromagnética) que se desloca a uma velocidade de  $3 \times 10^8 \text{ m s}^{-1}$  a partir da fonte, diretamente através do vácuo ou, indiretamente, por reflexão ou terradiação para o sensor. A REM representa um canal de comunicação muito eficiente e em alta velocidade entre o sensor e o fenômeno remoto. De fato, não conhecemos nada que se desloque mais rápido que à velocidade da luz. Mudanças na quantidade ou propriedade da REM tornam-se, pela detecção pelo sensor, uma valiosa fonte de dados para interpretar importantes propriedades do fenômeno (p.ex., temperatura, cor). Outros tipos de campos de força podem ser usados em lugar da REM, tais como ondas acústicas (sonar) (p.ex., Dartnell e Gardner, 2004). Entretanto, a maioria dos dados de sensoriamento remoto coletados para aplicações em recursos da Terra é o resultado de sensores que registram a energia eletromagnética.

### Distância: Quão Longe É Remoto?

O sensoriamento remoto ocorre a uma distância do objeto ou área de interesse. O interessante é que não há uma distinção clara sobre quão grande essa distância deveria ser. A distância poderia ser 1 cm, 1 m, 100 m, ou mais de 1 milhão de metros do objeto ou da área de interesse. Muito da astronomia é baseado em sensoriamento remoto. De fato, muitos dos mais inovadores sistemas de sensoriamento remoto e de métodos visuais e de processamento de imagens digitais foram originalmente desenvolvidos para o sensoriamento remoto de paisagens extra-terrestres, como a Lua, Marte, Io, Saturno, Júpiter, etc. Este texto, porém, trata primariamente com o sensoriamento remoto da Terra, usando sensores colocados em aeronaves suborbitais na atmosfera ou em satélites colocados no espaço, operando no vácuo.

As técnicas de sensoriamento remoto e de processamento digital de imagens também podem ser usadas para analisar espaços internos. Por exemplo, um microscópio eletrônico

pode ser usado para obter fotografias de objetos extremamente pequenos na pele, no olho, etc. Um instrumento de raios-x é um sistema de sensoriamento remoto onde a pele e o músculo são como a atmosfera que podem ser penetrados, e os ossos ou outra matéria internos são os objetos de interesse.

### Vantagens e Limitações do Sensoriamento Remoto

O sensoriamento remoto tem várias vantagens únicas bem como algumas limitações.

#### Vantagens

O sensoriamento remoto é não-intrusivo se o sensor estiver registrando passivamente a energia eletromagnética refletida ou emitida pelo fenômeno de interesse. Esta é uma consideração muito importante, uma vez que o *sensoriamento remoto passivo* não perturba o objeto ou a área de interesse.

Os equipamentos de sensoriamento são programados para coletar dados sistematicamente, tais como as fotografias aéreas verticais de  $23 \times 23 \text{ cm}$  ou uma matriz (*raster*, ou bitmap, ou mapa de bits, ou uma matriz de pontos ou pixels) de dados do Thematic Mapper (Mapeador Temático) do Landsat-5. Esta coleta de dados sistemática pode remover o viés de amostragem introduzido em algumas investigações *in situ* (p.ex., Karaska et al., 2004).

A ciência do sensoriamento remoto também é diferente da cartografia ou do GIS (Ciência da Informação Geográfica) porque estas ciências assentam-se em dados obtidos por outras. A ciência do sensoriamento remoto pode fornecer nova e fundamental informação científica. Sob condições controladas, o sensoriamento remoto pode fornecer informação biofísica básica, incluindo localização em *x* e *y*; elevação ou profundidade em *z*; biomassa; temperatura; e teor de água. Nesse sentido, a ciência do sensoriamento remoto assemelha-se ao levantamento, fornecendo informação básica que outras ciências podem usar ao conduzirem investigações científicas. Porém, ao contrário do levantamento, os dados de sensoriamento remoto podem ser obtidos sistematicamente para áreas geográficas muito grandes ao invés de observações apenas pontuais. De fato, a informação derivada do sensoriamento remoto atualmente é crítica para o satisfatório modelamento de numerosos processos naturais (p.ex., estimativa do suprimento de água; estudos de eutrofização; poluição por fontes não-pontuais) e culturais (p.ex., conversão do uso da terra nas bordas urbanas; estimativa da demanda por água; estimativas populacionais) (Walsh et al., 1999; Stow et al., 2003; Nemani et al., 2003; Karaska et al., 2004). Um bom exemplo é o modelo digital de elevação, que é tão importante em mui-

É útil revisar as características desse procedimento do processo de sensoriamento remoto.

O resultado é uma imagem digitalizada que pode ser processada para extrair informações sobre o ambiente terrestre. As imagens digitais são obtidas a partir de sensores remotos que capturam raios-X, ópticos ou infravermelhos.

O resultado é uma imagem digitalizada que pode ser processada para extrair informações sobre o ambiente terrestre. As imagens digitais são obtidas a partir de sensores remotos que capturam raios-X, ópticos ou infravermelhos.

O resultado é uma imagem digitalizada que pode ser processada para extrair informações sobre o ambiente terrestre. As imagens digitais são obtidas a partir de sensores remotos que capturam raios-X, ópticos ou infravermelhos.

O resultado é uma imagem digitalizada que pode ser processada para extrair informações sobre o ambiente terrestre. As imagens digitais são obtidas a partir de sensores remotos que capturam raios-X, ópticos ou infravermelhos.

O resultado é uma imagem digitalizada que pode ser processada para extrair informações sobre o ambiente terrestre. As imagens digitais são obtidas a partir de sensores remotos que capturam raios-X, ópticos ou infravermelhos.

O resultado é uma imagem digitalizada que pode ser processada para extrair informações sobre o ambiente terrestre. As imagens digitais são obtidas a partir de sensores remotos que capturam raios-X, ópticos ou infravermelhos.

O resultado é uma imagem digitalizada que pode ser processada para extrair informações sobre o ambiente terrestre. As imagens digitais são obtidas a partir de sensores remotos que capturam raios-X, ópticos ou infravermelhos.

O resultado é uma imagem digitalizada que pode ser processada para extrair informações sobre o ambiente terrestre. As imagens digitais são obtidas a partir de sensores remotos que capturam raios-X, ópticos ou infravermelhos.

## O Processo de Sensoriamento Remoto



### Limitações

O resultado é uma imagem digitalizada que pode ser processada para extrair informações sobre o ambiente terrestre. As imagens digitais são obtidas a partir de sensores remotos que capturam raios-X, ópticos ou infravermelhos.

### O Processo de Sensoriamento Remoto

### O Processo do Sensoriamento Remoto

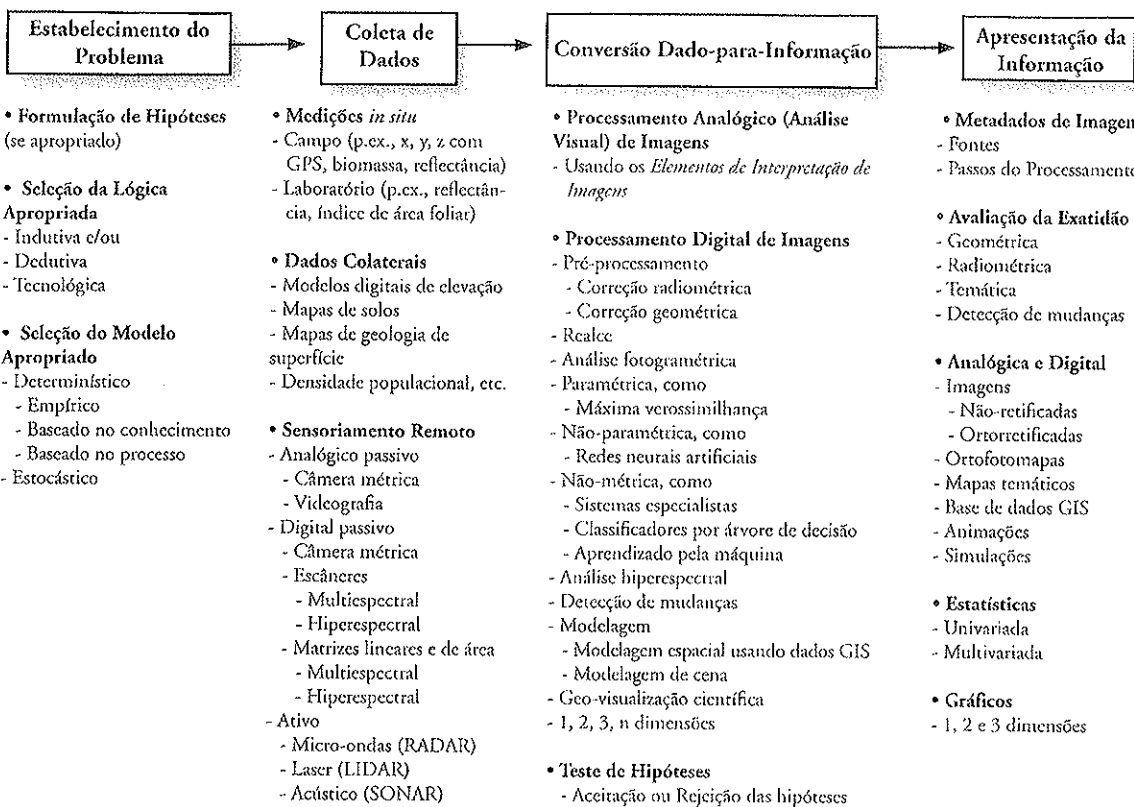


Figura 1-5 Os cientistas geralmente usam o processo do sensoriamento remoto quando extraem informação a partir de dados de sensoriamento remoto.

#### Enunciado do Problema

Às vezes o público leigo e mesmo as crianças olham uma fotografia aérea ou outro dado de um sensor remoto e extraem informação útil. Geralmente, eles fazem isso sem uma hipótese formal em mente. Com muito mais frequência, entretanto, eles interpretam a imagem incorretamente porque não entendem a natureza do sistema do sensoriamento remoto usado para coletar os dados ou não valorizam a perspectiva oblíqua ou vertical do terreno registrada na imagem.

Os cientistas que usam o sensoriamento remoto, por outro lado, geralmente são treinados no método científico – uma maneira de pensar sobre os problemas e resolvê-los. Usam um plano formal que tem pelo menos cinco elementos: 1) enunciado do problema, 2) formulação das hipóteses da pesquisa (isto é, uma possível explicação), 3) observação e experimentação, 4) interpretação dos dados, e 5) delineamento das conclusões. Não é necessário seguir exatamente este plano formal.

O método científico é normalmente usado em conjunto com modelos ambientais que são baseados em dois tipos primários de lógica:

- lógica dedutiva
- lógica indutiva

Modelos baseados na lógica dedutiva e/ou indutiva podem ser ainda subdivididos de acordo com o seu processamento, seja deterministicamente ou estocasticamente (Jensen, 2005). Alguns cientistas extraem novas informações temáticas diretamente da imagem de sensoriamento remoto mesmo sem nunca usar explicitamente a lógica indutiva ou dedutiva. Eles estão interessados apenas na extração da informação a partir da imagem usando métodos e tecnologias apropriados. Esta abordagem tecnológica não é tão rigorosa, mas é comum no sensoriamento remoto aplicado. E também pode gerar novos conhecimentos.

**Variáveis híbridas:** O segundo grupo geral de variáveis variáveis híbridas é grande; consequentemente, nenhum a de vegetação — uma variável híbrida. A diversidade de certa possivel modelar esses dados para detectar estresse absorvão pela clorofila, temperatura e teor de umidade, remoto das características de uma planta quanto à sua que podem ser obtidas por sensoriamento remoto inclui as variáveis híbridas, radares para análise sistêmica de mais

que global (Fenssen et al., 2002; Astori, 2004). A Tabela 1-2 é uma lista seletiva de variáveis biológicas que podem ser obtidas por sensoriamento remoto usando sensores deletadas para adquirir os dados. As características passos no sensoriamento remoto de muitas classes discutidas nos Capítulos 7, 8 e 9. Foram dados gerais das de muitos desses sistemas de sensoriamento remoto São casos de radares de abertura sintética (IFASAR), que podem ser obtidas por sensoriamento remoto usando que podem ser obtidas para adquirir os dados. As características biológicas, radares para modelar o ambiente interacionais em andamento para o esforço nacional e juntou (GPSS) (Jensen e Cowen, 1999). Os centros de sensoriamento remoto usados para detectar a cobertura de vegetação, a maioria dos dados *in situ* e colhidos em con-

de radar de abertura sintética (IFASAR), ou de imagem interferométrica liz e distâncias (LIDAR), SPOT), de dados de sensor de detecção de menor (p.ex., SPOT), de imagem de satélite com recobrimento estereoscópica, de extratadas diretamente da fotografia um objetivo podem ser extratadas diretamente de área terrestre através absolvida (ALASKA) e o índice de área reticulada (LAI). A localização x, y, e a altura (z) precisas de um clima ambiente através absolvida (ALASKA) e a radiográfo folioso-NASA, pode ser usado para medir a radiográfo folioso-deterioração Resolution Imaging Spectrometer (MODIS), da remoto na faixa de micro-ondas (Engman, 2000). O MODIS observa não-vizcada da precisão dos resultados finais I) calibrar os dados do sensor remoto, e ou 2) fazer uma coleções. As observações *in situ* podem ser usadas para mesmo tempo em que os dados do sensor remoto fornem estrutura do lagoa *in situ* de forma precisa e empírica ao tempo de necessários colhidas remotas superflua, se um clima ambiente que mapear a tempranamente semelhante a de dados no campo e no laboratório. Por exemplo, em geral é necessário colhar alguma superfície ao desenviam ser bem treinados nos procedimentos de cole- Cientistas usando tecnologias de sensoriamento remoto que energia radiante de um corpo rochoso para medida a temperatura ambiente de variação de temperatura variações impõe.

**Variáveis biológicas:** Algumas variáveis biológicas podem ser medidas diretamente por um sistema de sensoriamento remoto. Isto significa que os dados de sensoriamento remoto que tecnicas uma lista de variáveis: *biófisicas e híbridas*.

**Requisitos de Dados de Sensoriamento Remoto**  
sobre duas classes de variáveis: *biófisicas e híbridas*. Ima vez que tecnicas uma lista de variáveis, e útil descrever minar quais delas podem ser obtidas por sensoriamento remoto. O sensoriamento remoto pode fornecer informações sobre a diversidade de sensoriamento remoto que os dados de sensoriamento remoto fornecem novos conhecimentos científicos (p.ex., Russel et al., 1986; Curran, 1987; Fisher e Lindenberg, 1989; Dobson, 1993; Skidmore, 2002).

O sensoriamento remoto é usado tanto na abordagem

padas, são importantes no processo de sensoriamento com limites poléticos, e estatísticas populacionais agrupadas, maspas de solos, mapas geográficos, arquivos elevados, dados auxiliares), tais como modelos digitais de Multas vezes os dados colhidos (freqüentemente cha-

### Requisitos de Dados Colhidos

para obter coordenadas x, y e precessas (Rizzo, 2002). de colher dados *in situ* e como fazer a correção diferencial de colher os dados de GPS em cada estação (local) saber como colher os dados x, y e do sistema de posicionamento global (GPS) (Jensen e Cowen, 1999). Os centros de sensoriamento remoto usados para detectar a cobertura de vegetação, a maioria dos dados *in situ* e colhidos em con-

geografia humana, sociologia, etc. Ima ambientes urbanos com base no critérios de densidade de forma precisa informação socio-económica e demográfica de forma precisa informação socio-económica e demográfica, Tamboém é importante saber como colher metereológico). Tamboém é importante saber como colher exemplo, química, biologia, flora, solos, hidrologia, entre os procedimentos de amostragem *in situ* São mais rantes, os procedimentos de amostragem *in situ* São mais ricas de amostragem no campo e no laboratório. Entre ricas de amostragem no campo e no laboratório. Entre mento remoto fornecem alguma informação sobre ricas (Congleton e Green, 1998). Os vírus-textos de sensoriamento remoto usados para detectar a cobertura de vegetação, a maioria dos resultados finais avaliada não-vizcada da precisão dos resultados finais coleções. As observações *in situ* podem ser usadas para mesmo tempo em que os dados do sensor remoto fornem estrutura do lagoa *in situ* de forma precisa e empírica ao tempo de necessários colhidas remotas superflua, se um clima ambiente que mapear a tempranamente semelhante a de dados no campo e no laboratório. Por exemplo, em geral é necessário colhar alguma superfície ao desenviam ser bem treinados nos procedimentos de cole- Cientistas usando tecnologias de sensoriamento remoto que energia radiante de um corpo rochoso para medida a temperatura ambiente de variação de temperatura variações impõe.

**Requisitos de Dados de Sensoriamento Remoto**  
sobre a diversidade de sensoriamento remoto que os dados de sensoriamento remoto fornecem novos conhecimentos científicos (p.ex., Russel et al., 1986; Curran, 1987; Fisher e Lindenberg, 1989; Dobson, 1993; Skidmore, 2002).

O sensoriamento remoto fornecem novos conhecimentos científicos (p.ex., Russel et al., 1986; Curran, 1987; Fisher e Lindenberg, 1989; Dobson, 1993; Skidmore, 2002). Os diferentes tipos de logica usados sobre como para obter conhecimento. Há contrivéria sobre como científica (indutiva e dedutiva) quanto na tecnologia para dedutiva, é identificada uma lista de variáveis e de sensoriamento remoto. Se uma hipótese é formulada usando logica induativa e

Tabela 1-2. Seleção de variáveis biofísicas e híbridas, e o potencial dos sistemas de sensoriamento remoto usados para obter a informação.

Variáveis Biofísicas	Sistemas de Sensoriamento Remoto Potenciais
<b>Controle Geodésico <math>x, y, z</math></b>	- Sistemas de Posicionamento Global (GPS)
<b>Localização <math>x, y</math> a partir de Imagem Ortocorrigida</b>	- Fotografia aérea estereoscópica analógica ou digital, Ikonos da Space Imaging, QuickBird da DigitalGlobe, OrbView-3 da Orbimage, HRV-SPOT da França, Landsat (Thematic Mapper, Enhanced TM*), IRS-1CD da Índia, Sensor de micro-ondas dos ERS-1 e 2 da Europa, MERIS-ENVISAT da Europa, MODIS (Moderate Resolution Imaging Spectrometer), LIDAR, Radarsat 1 e 2 do Canadá, CBERS-1, 2 e 2B do Brasil-China.
<b>Topografia/Batimetria <math>z</math></b>	- GPS, fotografia aérea estereoscópica, LIDAR, SPOT, RADARSAT, IKONOS, QuickBird, OrbView-3, Shuttle Radar Topography Mission (SRTM), Radar Interferométrico de Abertura Sintética (IFSAR)
- Modelo Digital de Elevação (DEM)	- SONAR, LIDAR batimétrico, fotografia aérea estereoscópica
- Modelo Batimétrico Digital (DBM)	
<b>Vegetação</b>	- Fotografia área colorida, ETM* Landsat, IKONOS, QuickBird, OrbView-3, SeaWiFS da Orbimage, Advanced Spaceborne Thermal Emission and Reflection Radiometer (ASTER), ENVISAT, hiperespectral aerotransportado (p.ex., AVIRIS, HyMap, CASI)
- Pigmentos (p.ex., clorofila $a$ e $b$ )	- Fotografia aérea estereoscópica, LIDAR, RADARSAT, IFSAR
- Estrutura e altura do dossel	- Fotografia área infravermelha colorida (CIR), fotografia aérea, Landsat (TM, ETM*), IKONOS, QuickBird, OrbView-3, Advanced Very High Resolution Radiometer (AVHRR), CBERS (CCD, WFI), Multiangle Imaging Spectroradiometer (MISR), sistemas hiperespectrais aerotransportados (p.ex., AVIRIS, HyMap, CASI)
- Biomassa derivada de índices de vegetação	- ASTER, AVHRR, GOES, Hyperion, MISR, MODIS, SeaWiFS, infravermelho termal aerotransportado
- Índice de área foliar (LAI ou IAF)	
- Radiação fotossinteticamente ativa absorvida	
- Evapotranspiração	
<b>Temperatura Superficial</b> (terra, água, atmosfera)	
<b>Solos e Rochas</b>	
- Umidade	- ASTER, micro-ondas passivo (SSM/I), RADARSAT, MISR, ALMAZ, Landsat (TM, ETM*), ERS-1 e 2, Intermap Star 3i
- Composição mineral	- ASTER, MODIS, sistemas hiperespectrais (p.ex., AVIRIS, HyMap, CASI)
- Taxonomia	- Fotografia área colorida de alta resolução e fotografia aérea infravermelha colorida (CIR), sistemas hiperespectrais aerotransportados (p.ex., AVIRIS, HyMap, CASI)
- Alteração hidrotermal	- Landsat (TM, ETM*), ASTER, MODIS, hiperespectrais aerotransportados (p.ex., AVIRIS, HyMap, CASI)
<b>Rugosidade Superficial</b>	- Fotografia aérea, ALMAZ, ERS-1 e 2, RADARSAT, Intermap Star 3i, IKONOS, QuickBird, ASTER, ENVISAT ASAR
<b>Água</b>	- Fotografia aérea colorida normal e infravermelha, Landsat (TM, ETM*), SPOT, IKONOS, QuickBird, OrbView-3, ASTER, SeaWiFS, MODIS, sistemas hiperespectrais aerotransportados (p.ex., AVIRIS, HyMap, CASI), AVHRR, GOES, LIDAR batimétrico, MISR, CERES, Hyperion, TOPEX/POSEIDON, MERIS
- Cor	
- Hidrologia de superfície	
- Minerais em suspensão	
- Clorofila/material orgânico em suspensão	
- Material orgânico dissolvido	



## CAPÍTULO

## Sensoriamento Remoto do Ambiente

Tabela 1-3. Seleção de sistemas de sensoriamento remoto e suas características.

Sistemas de Sensoriamento Remoto	Resolução								
	Azul	Verde	Vermelho	Infravermelho próximo	Infravermelho médio (SWIR)	Infravermelho termal	Micro-ondas	Espacial (m)	Temporal (dias)
<b>Sensores Suborbitais</b>									
Filme panchromático (preto e branco)	0,5	0,5	0,7 μm					Variável	Variável
Filme colorido	0,4	0,4	0,7 μm	0,9 μm				Variável	Variável
Filme infravermelho colorido	0,5	0,5	1	1	1			Variável	Variável
Câmeras métricas digitais (CCD)	1	1	1	1	1			0,25 - 5	Variável
CASI 1500	0,40	0,40	288 bandas	1,0 μm				Variável	Variável
AVIRIS – Airborne Visible Infrared Imaging Spectrometer	0,40	0,40	224 bandas	2,5 μm	2,5 μm			2,5 ou 20	Variável
Intermap Star-3i Radar banda							1	Variável	Variável
<b>Sensores em Satélites</b>									
NOAA-9 AVHRR LAC	1	1	1	1	3			1.100	14,5/dia
NOAA-K, L, M	1	1	1	1	2	2		1.100	14,5/dia
Landsat Multispectral Scanner (MSS)	1	1	1	2				79	16-18
Landsat 4 e 5 Thematic Mappers (TM)	1	1	1	1	2	1	1	30 e 120	16
Landsat 7 Enhanced TM (ETM+)	1	1	1	1	2	1	1	30 e 60	16
– Multiespectral									
- Panorâmático	0,52	0,52	0,9 μm					15	16
SPOT 4 HRV – Multiespectral	1	1	1	1	1			20	com apontamento
- Panorâmático	0,51	0,51	0,73 μm					10	com apontamento

Tabela 1-3. Seleção de sistemas de sensoriamento remoto e suas características (continuação).

	Resolução						Espectral		
	Azul	Verde	Vermelho	Infravermelho próximo	Infravermelho médio (SWIR)	Infravermelho térmico	Micro-ondas	Espacial (m)	Temporal (dias)
<b>Sensores Suborbitais</b>									
Série GOES (Leste e Oeste)	0,52	—	—	0,72 μm	4	—	700	0,5/dia	
European Remote Sensing Satellite (ERS-1 e 2)	Polarização VV Banda C (5,3 GHz)	—	—	—	1	26 – 28	—	—	
RADARSAT Canadense (vários modos)	Polarização HH Banda C (5,3 GHz)	—	—	—	1	9-100	1-6 dias	—	
Shuttle Imaging Radar (SIR-C)	—	—	—	—	3	30	Variável	—	
Sea-Viewing Wide Field-of-View Sensor (SeaWiFS)	3	2	1	2	1.130	1	—	—	
MODIS – Moderate Resolution Imaging Spectroradiometer	0,405	—	—	36 bandas	—	14.385 μm	—	—	
ASTER – Advanced Spaceborne Thermal Emission and Reflection Radiometer	—	—	—	0,52 – 3 bandas – 0,86 μm	—	250, 500, 1000	1-2	—	
MISR – Multiangle Imaging Spectrometer	—	—	—	—	15	5	—	—	
NASA Topex/Poseidon	—	—	—	—	30	16	—	—	
altímetro	(18, 21, 37 GHz)	—	—	—	90	16	—	—	
POSEIDON single-frequency radiometer	(13,65 GHz)	—	—	—	—	—	—	—	
Space Imaging IKONOS	1	1	1	1	1	—	—	—	
— Multispectral	—	—	—	—	4	com aponta- mento	—	—	
— Panorâmico	0,45	—	—	—	0,9 μm	1	—	—	
DigitalGlobe QuickBird	—	1	1	1	—	—	—	—	
— Multispectral	—	—	—	—	2,44	com aponta- mento	—	—	
- Panorâmico	0,45	—	—	—	0,9 μm	—	—	—	
	—	—	—	—	0,61	—	—	—	

O Processo do Sensoriamento Remoto

$$L = f(\lambda, s_{x,y,z}, t, 0, P, \Omega) \quad (1-1)$$

onde

$\lambda$  = comprimento de onda (resposta espectral medida em várias bandas ou em frequências específicas). O comprimento de onda ( $\lambda$ ) e a frequência ( $\nu$ ) podem ser usados intercambiavelmente com base na sua relação com a velocidade da luz ( $c$ ) onde  $c = \lambda \times \nu$ .

$s_{x,y,z}$  = localização  $x, y, z$  do pixel e seu tamanho ( $x, y$ );

$t$  = informação temporal, i.e., quando, durante quanto tempo, e com que frequência os dados são adquiridos;

$\theta$  = conjunto de ângulos que descrevem as relações geométricas entre a fonte de radiação (por exemplo, o Sol), o objeto de interesse no terreno (por exemplo, um campo ou talhão de milho), e o sistema de sensoriamento remoto;

$P$  = polarização da energia retroespelhada registrada pelo sensor; e

$\Omega$  = resolução radiométrica (precisão) com que os dados (i.e., radiação refletida, emitida, ou retroespelhada) foram registrados pelo sistema de sensoriamento remoto.

É interessante revisar brevemente as características dos parâmetros associados com a Equação 1-1 e como eles influenciam a natureza dos dados de sensoriamento remoto coletados.

### Informação Espectral e Resolução

A maioria das pesquisas de sensoriamento remoto é baseada no desenvolvimento de uma relação determinística (i.e., um modelo) entre a quantidade de energia eletromagnética refletida, emitida, ou retroespelhada em bandas ou frequências específicas e as características químicas, biológicas e físicas dos fenômenos em investigação (p.ex., um dossel de campo de milho). *Resolução espectral* é o número e a dimensão (tamanho) de intervalos de comprimentos de onda específicos (chamados de *bandas* ou *canais*) no espectro eletromagnético aos quais um instrumento de sensoriamento remoto é sensível.

Os sistemas de sensoriamento remoto *multiespectrais* registram a energia em múltiplas bandas do espectro eletromagnético. Por exemplo, nos anos 1970s e início dos 1980s, o Multispectral Scanner do Landsat (MSS) registrou dados de sensoriamento remoto de grande parte da Terra que ainda são de valor significativo para estudos de detecção de mudanças. As larguras das quatro bandas do MSS são mostradas na Figura 1-6a (banda 1 = 500 - 600 nm; banda 2 = 600 - 700 nm; banda 3 = 700 - 800 nm; e banda 4 = 800 - 1.100 nm). A largura nominal de uma

banda pode ser grande (isto é, grosseira), como a banda 4 do MSS Landsat no infravermelho próximo (800 - 1.100 nm) ou relativamente menor (isto é, mais fina), como a banda 3 do MSS do Landsat (700 - 800 nm). Neste caso, os detectores da banda 4 do MSS do Landsat registravam um intervalo relativamente largo de fluxo radiante refletido no infravermelho (300 nm de largura) enquanto os detectores da banda 3 do MSS registravam um intervalo bem mais reduzido de fluxo radiante no infravermelho (100 nm de largura).

As quatro bandas multiespectrais da câmera métrica digital do ADAR 5500 da Positive Systems são mostradas para fins comparativos (Figura 1-6a, c e d). As larguras de banda da câmera foram refinadas para registrarem informação em regiões mais específicas do espectro (banda 1 = 450 - 515 nm; banda 2 = 525 - 605 nm; banda 3 = 640 - 690 nm, e banda 4 = 750 - 900 nm). Há espaços entre as sensibilidades espetrais dos detectores. Observe que esse sistema de câmera digital também é sensível à energia refletida no comprimento de onda do azul.

A terminologia mencionada anteriormente é tipicamente usada para descrever a *resolução espectral nominal* de um sensor. Entretanto, é difícil criar um detector que tenha limites de comprimento de onda extremamente bem definidos tais como aqueles mostrados na Figura 1-6a. Mais propriamente, o método mais preciso para estabelecer o intervalo de comprimento de onda é observar a forma Gaussiana típica da sensibilidade do detector, como mostrado no exemplo da Figura 1-6b. O analista então determina a Largura Completa na Metade do Máximo (FWHM). Neste exemplo hipotético, a banda 3 do infravermelho próximo do MSS do Landsat em análise é sensível à energia entre 700 e 800 nm.

Um instrumento *hiperespectral* de sensoriamento remoto adquire os dados tipicamente em centenas de bandas espetrais (Goetz, 2002). Por exemplo, o Airborne Visible Infrared Imaging Spectrometer (AVIRIS) tem 224 bandas na região de 400 a 2.500 nm espaçadas de apenas 10 nm entre elas com base no critério de FWHM (Clark, 1999; NASA, 2006). Um cubo de dados hiperespectrais AVIRIS de uma porção da área da Usina Nuclear de Savannah River, perto de Aiken, Carolina do Sul, é mostrado na Figura 1-7. O sensoriamento remoto *ultraespectral* envolve a coleta de dados em muitas centenas de bandas.

Certas regiões ou bandas espetrais do espectro eletromagnético são ótimas para obter informações sobre parâmetros biofísicos. As bandas são normalmente selecionadas para maximizar o contraste entre o objeto de interesse e o seu substrato (i.e., o contraste objeto-substrato). A seleção cuidadosa das bandas espetrais pode melhorar a probabilidade de que a informação desejada vá ser extraída do sensor remoto.

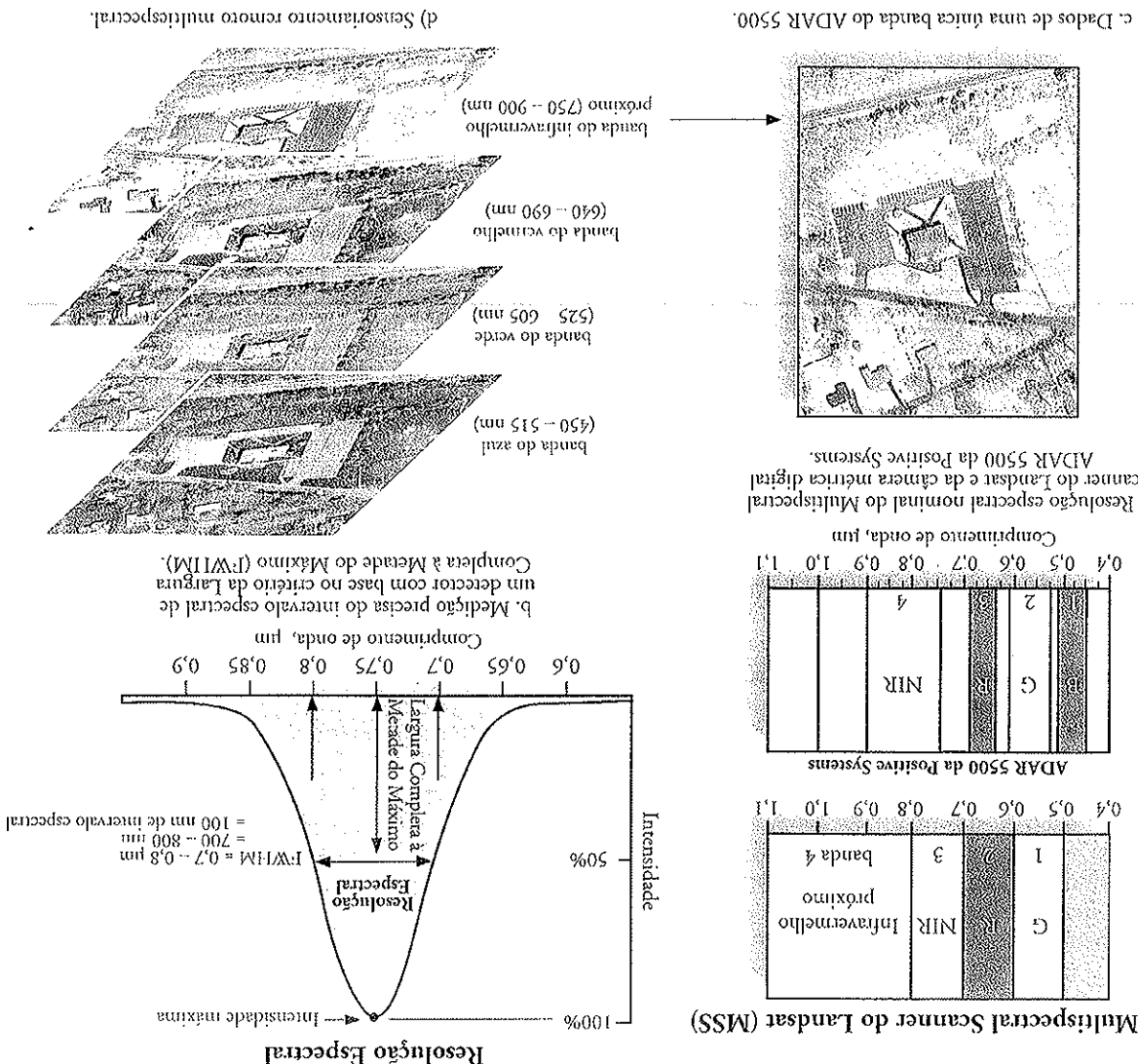
Há uma relação geral entre o tamanho de um objeto ou de sensoramento remoto. Resolução espacial é uma medida área a ser identificada e a resolução espacial de um sistema sensoramento remoto é associado com coordenadas x,y espaciais que possuem uma vez retificada para uma projeção cartográfica.

É uma medida que a resolução espacial de um sistema de sensoramento remoto é a menor distância entre os pixels que representam um objeto no terreno. Por exemplo, cada pixel de uma imagem digital é associado com uma determinada área da superfície terrestre (pixels).

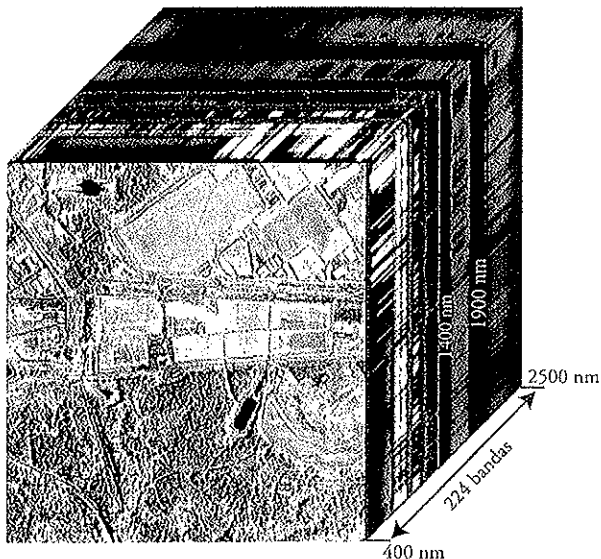
A maioria dos estudos de sensoramento remoto registra atributos espaciais dos objetos no terreno. Por exemplo, cada pixel de uma imagem digital é associado com uma determinada área da superfície terrestre que é dividida em intervalos de comprimento de onda (nm) para classificar os pixels.

### Informação e Resolução Espacial

Figura 1-6 a) Intervalos espaciais das bandas (verde, vermelho, e azul) no infravermelho proxímo do Multispectral Scanner do Landsat (MSS) comparados com os intervalos espaciais de uma câmera metérica digital ADAR 5500. b) Multispectral Scanner do ADAR 5500 com suas bandas (azul, verde, vermelho, e prateado) no infravermelho proxímo. c) Dados de uma única banda do ADAR 5500.



**Cubo de Dados Hiperespectrais do Airborne Visible Infrared Imaging Spectrometer (AVIRIS) da área da Usina do Savannah River próxima a Aiken, na Carolina do Sul.**



A imagem do infravermelho próximo no topo do cubo de dados é apenas uma das 224 bandas com intervalo espectral de 10 nm adquirida em 26 de Julho de 1999.

**Figura 1-7** Imagem hiperespectral de uma área da Usina do Savannah River, Carolina do Sul, obtida pelo Airborne Visible/Infrared Imaging Spectrometer (AVIRIS) da NASA. A resolução espacial nominal é de 3,4 x 3,4 m. A atmosfera absorve a maioria da radiação eletromagnética próxima aos comprimentos de onda de 1.400 e 1.900 nm, causando as bandas escuras no cubo de dados hiperespectrais.

da menor separação angular ou linear entre dois objetos que pode ser determinada pelo sistema de sensoriamento remoto. A resolução espacial de fotografias aéreas pode ser medida por 1) colocação de linhas pretas e brancas paralelas e calibradas sobre placas colocadas no campo, 2) obtenção de fotografias aéreas da área de estudo, e 3) cálculo do número de *pares de linha por milímetro* determinado na fotografia. Também é possível determinar a resolução espacial de uma imagem pelo cálculo da sua função de transferência de modulação (MTF), a qual está além do escopo deste texto (Joseph, 2000).

Muitos sistemas de sensoriamento remoto em satélites usam ópticas que têm um campo de visada instantâneo (IFOV) constante (Figura 1-2). Assim, a *resolução espacial nominal* de um sistema sensor é definida como a dimensão em metros do IFOV projetado no terreno, onde o diâme-

tro do círculo ( $D$ )<sup>1</sup> no terreno é uma função do campo de visada instantâneo ( $\beta$ ) vezes a altitude ( $H$ ) do sensor sobre o nível do terreno (AGL) (Figura 1-2):

$$D = \beta \times H \quad (1-2)$$

Pixels são normalmente representados na tela do computador e em imagens em papel como retângulos com comprimento e largura. Portanto, descrevemos um sistema de resolução espacial nominal de um sistema sensor como sendo 10 x 10 m ou 30 x 30 m. Por exemplo, o QuickBird da DigitalGlobe tem resolução espacial nominal de 61 x 61 cm para sua banda panchromática e 2,44 x 2,44 m para as suas quatro bandas multiespectrais. O Enhanced Thematic Mapper Plus do Landsat-7 (ETM<sup>1</sup>) tem resolução espacial nominal de 15 x 15 m para a sua banda panchromática e 30 x 30 m para as suas seis bandas multiespectrais. Geralmente, quanto menor a resolução espacial nominal, maior o poder de resolução espacial do sistema de sensoriamento remoto.

A Figura 1-8 mostra uma imagem de câmera digital de uma área em Mechanicsville, Nova Iorque, em resoluções variando de 0,5 x 0,5 m a 80 x 80 m. Observe que não há uma diferença significativa na interpretabilidade nos dados de 0,5 x 0,5 m, nos de 1 x 1 m, e mesmo nos dados de 2 x 2 m. Entretanto, o conteúdo de informação urbana diminui rapidamente quando se usa imagem de 5 x 5 m e é praticamente inútil para análises urbanas as resoluções espaciais maiores de 10 x 10 m. Essa é uma razão histórica pela qual os dados MSS Landsat (79 x 79 m) são de pouco valor para a maioria das aplicações urbanas (Jensen e Cowen, 1999; Jensen et al., 2002).

Uma regra heurística prática útil é a de que, a fim de detectar uma feição, a resolução espacial nominal do sistema de sensoriamento remoto deveria ser pelo menos a metade do tamanho da feição medida na sua menor dimensão. Por exemplo, se quisermos identificar a localização de pequenas árvores num parque, a resolução espacial mínima aceitável seria aproximadamente a metade do diâmetro da menor copa de árvore encontrada no parque. Mesmo esta resolução espacial, entretanto, não garantirá sucesso se não houver diferença entre a resposta espectral da árvore (o objeto) e o solo ou a grama que está ao redor dela (isto é, o substrato).

Alguns sistemas sensores, como o LIDAR, não “mapçiam” completamente a superfície do terreno. Mais propriamente, a superfície é “amostrada” usando pulsos de laser enviados da aeronave num intervalo de tempo nominal (Ra-

<sup>1</sup> Em geral, como os detectores são retangulares ou quadrados, é comum usar as dimensões dos seus lados para calcular o IFOV. São raros os detectores circulares. (N.T.)

objeto sob investigação (Hack et al., 1997). Por exemplo, para captar características discriminativas singulares de um júdiciais, o sensor obtém dados repetitivamente 16 dias. Imediatamente, o resultado é que a área particular A figura 1-9 é de temporal do sistema sensor mostrado na Figura 1-9 é de resolução a resolução temporal de um sistema de sensoriamento remoto re-

meonto e fazem previsões. Uma das colunas de muitos valores quantitativos técnicos do sensor podem ser usados para identificar processos em desenvolvimento da mesma região a intervalos de tempo. Registros multidimensionais de ruídos obtidos através de regiões de interesse são registradas imediatamente se referir a qual frequência é possível cada pixel ( $x,y$ ) na imagem matricial, é também possível determinar a distância entre um pixel e seus vizinhos.

### Informação e Resolução Temporal

Figura 1-8 Imagem de uma área residencial próxima a Mechanicsville, Nova Iorque, obtida em 1º de junho de 1998, na escala nominal de  $0,3 \times 0,3$  m usando uma câmera digital (Corbis da Linton Emerging, Inc.). Os dados originais foram remosadas para gerar a

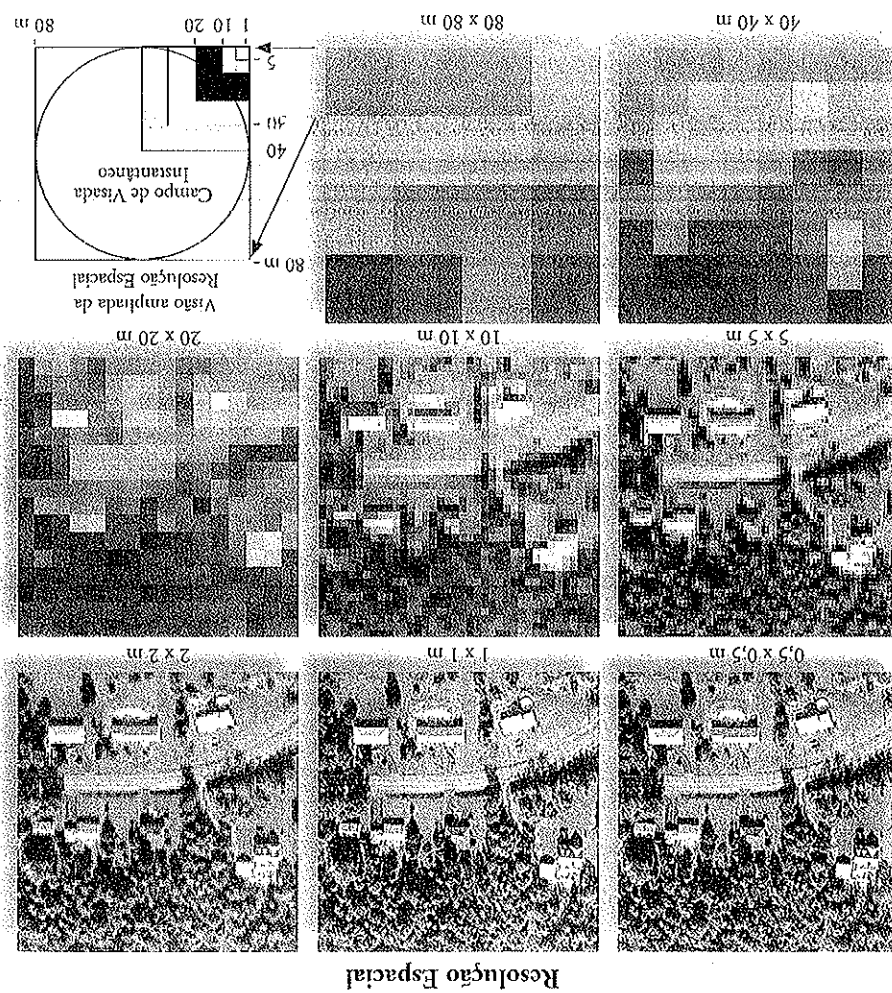
uma imagem ( $W\text{alsh et al., 1999; Jensen, 2005}$ ). Como termos informação espacial sobre a localização de pontos por unidade de área) descreve a frequência das observações no terreno (Hodgson et al., 2005).

Consequentemente, a magnitude de auto-correlação pode ser determinada com base na informação espacial incrustada dentro de outras medidas geostatísticas espaciais podendo detectar e quantificar a magnitude de auto-correlação entre pixels adjacentes, a magnitude de um pixel e seus vizinhos.

Examinar a relação espacial entre um pixel e seu vizinho é a medida de proximidade entre pixels adjacentes a cada  $1 \times 1$  cm, mas a densidade de amostragem (i.e., o número de pixels da mesma região do pulso de laser no terreno (p.ex., 15 cm), com amostras localizadas aproximadamente a cada  $1 \times 1$  cm no terreno. A resolução espacial seria apropriada mente para muitas aplicações de monitoramento ambiental que exigem uma resolução de  $10 - 15$  cm de diâmetro) pode ser muito pequena (p.ex.,  $10 - 15$  cm de diâmetro) para gerar a

imagem com as resoluções espaciais simuladas mostradas. Imagem com as resoluções espaciais simuladas.

Figura 1-8 Imagem de uma área residencial próxima a Mechanicsville, Nova Iorque, obtida em 1º de junho de 1998, na escala nominal de  $0,3 \times 0,3$  m usando uma câmera digital (Corbis da Linton Emerging, Inc.). Os dados originais foram remosadas para gerar a



O Processo do Sensoriamento Remoto

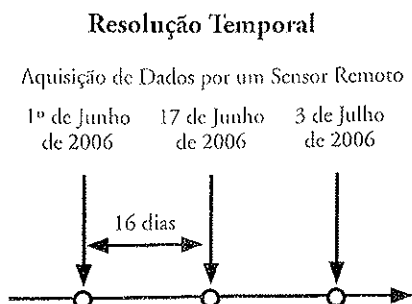


Figura 1-9 A resolução temporal de um sistema de sensoriamento remoto refere-se à frequência com que ele registra a imagem de uma certa área. Este exemplo mostra a coleta sistemática de dados a cada 16 dias, presumivelmente aproximadamente à mesma hora do dia. Os Thematic Mappers dos Landsat-4 e 5 tinham ciclos de revisita de 16 dias.

as culturas agrícolas têm ciclos fenológicos bem definidos em cada região geográfica (discutido no Capítulo 11). Para medir variáveis agrícolas específicas, é necessário adquirir dados de sensoriamento remoto em datas críticas no ciclo fenológico (Johannsen et al., 2003). A análise de imagens de múltiplas datas fornece informação sobre como as variáveis estão mudando através do tempo. A informação de mudança fornece indicativos sobre os processos influenciadores do desenvolvimento da cultura (Jensen et al., 2002). Felizmente, vários sistemas sensores em satélites, como o SPOT, IKONOS, ImageSat e QuickBird são apontáveis, significando que eles podem adquirir imagens fora do nadir. *Nadir* é o ponto diretamente abaixo do satélite ou plataforma. Isso aumenta substancialmente a probabilidade de que a imagem será obtida durante a estação de crescimento ou durante uma emergência. Entretanto, a visada oblíqua fora do nadir também introduz problemas quanto à função de distribuição da reflectância bidirecional (BRDF), discutida na próxima seção.

Frequentemente, há análises de relações custo/benefício associadas com as várias resoluções que devem ser feitas ao coletar dados de sensoriamento remoto (Figura 1-10; Prancha Colorida 1-1). Geralmente, quanto maior o requisito de resolução temporal (p.ex., monitoramento de furacões a cada meia hora), menor o requisito de resolução espacial (p.ex., o satélite meteorológico NOAA GOES registra imagens com pixels de 4 x 4 a 8 x 8 km). Por outro lado, quanto maior o requisito de resolução espacial (p.ex., monitoramento do uso da terra em área urbana com dados de 1 x 1 m), menor o requisito de resolução temporal (p.ex., a cada 1 a 10 anos). Por exemplo, a Figura 1-11 documenta o sensível desenvolvimento residencial e comercial do uso da terra para uma área perto de Atlanta, Geórgia, usando fotografias aéreas de

alta resolução espacial (1 x 1 m) obtidas em 1993 e 1999. Algumas aplicações, tais como tipo de cultura ou estimativa de safras, poderiam requerer dados de alta resolução temporal (p.ex., várias imagens obtidas durante a estação de crescimento) e dados de resolução espacial moderada (p.ex., pixels de 250 x 250 m). Aplicações de resposta a emergências podem necessitar de coletas de dados com resoluções espaciais e temporais muito altas, que geram uma enorme quantidade de dados.

Um outro aspecto da informação temporal é a forma como muitas observações são registradas a partir de um pulso único de energia que é dirigido à Terra por um sensor ativo, tal como um LIDAR. Por exemplo, a maioria dos sensores LIDAR emite um pulso de energia a laser e grava múltiplas respostas desse pulso. Medições de diferença no tempo entre as múltiplas respostas permitem a determinação da altura dos objetos e da estrutura do terreno. Também, a duração do tempo necessário para emitir um sinal de energia por um sensor ativo é chamada de *duração do pulso*. Pulses de curta duração permitem medições precisas de distância (i.e., extensão).

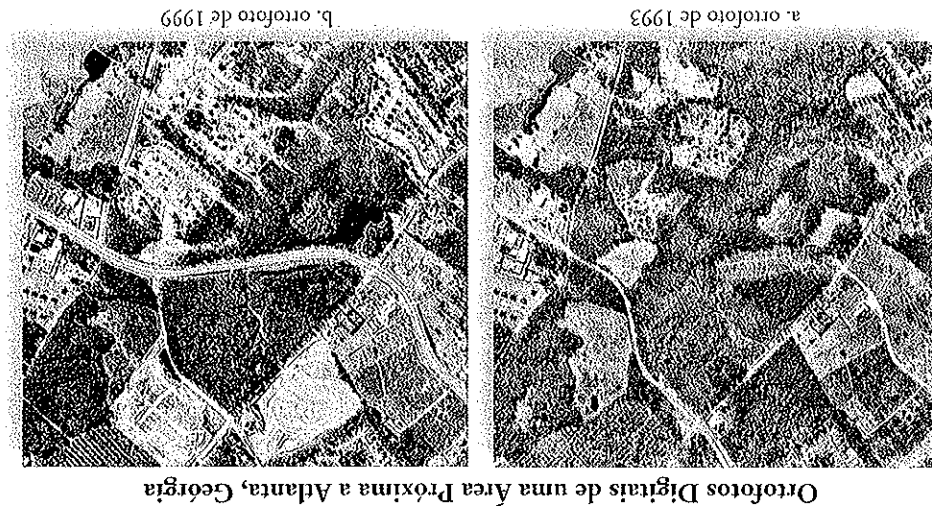
#### Informação e Resolução Radiométrica

Alguns sistemas de sensoriamento remoto registraram a radiação eletromagnética refletida, emitida, ou retroespelhada com mais precisão que outros sistemas sensores. Isso é análogo a fazer uma medição com uma régua. Se você quiser medir precisamente o comprimento de um objeto você preferiria usar uma régua que tivesse 16 ou 1.024 subdivisões?

*Resolução radiométrica* é definida como a sensibilidade de um detector de sensoriamento remoto a diferenças na potência do sinal à medida que ele registra o fluxo radiante refletido, emitido, ou retroespelhado pelo terreno. Ele define o número de níveis de sinal claramente discriminados. Portanto, a resolução radiométrica pode ter um impacto significativo em nossa habilidade para medir as propriedades dos objetos da cena. O Multispectral Scanner do Landsat-1 lançado em 1972 registrava a energia refletida com uma precisão de 6 bits (valores variando 0 a 63). Os sensores do Thematic Mapper dos Landsat-4 e 5 lançados em 1982 e 1984, respectivamente, registravam os dados em 8 bits (valores de 0 a 255) (Figura 1-12). Assim, os sensores TM/Landsat tiveram a resolução radiométrica (sensibilidade) melhorada quando comparados com os MSS/Landsat originais. Os sensores QuickBird e IKONOS registraram a informação em 11 bits (valores de 0 a 2.047). Vários novos sistemas sensores têm resolução radiométrica de 12 bits (valores variando de 0 a 4.095). Às vezes a resolução radiométrica é chamada de nível de *quantização*. Uma alta resolução radiométrica geralmente aumenta a probabilidade de que os fenômenos sejam avaliados com mais exatidão pelo sensoriamento remoto.

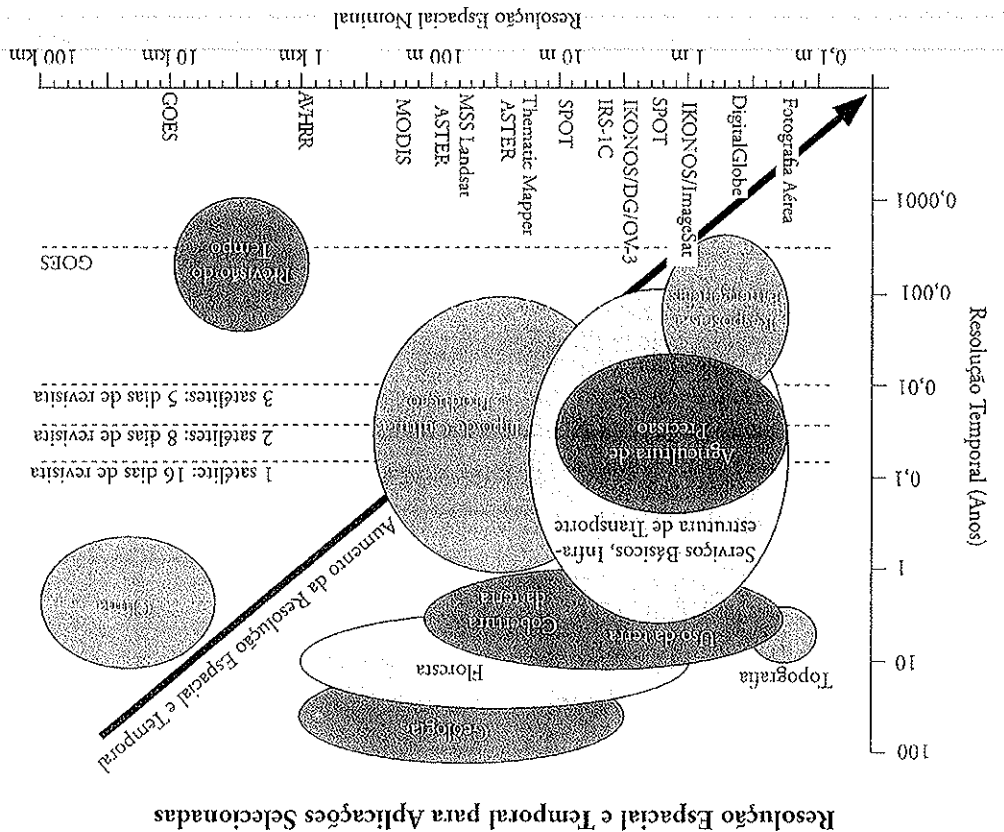
cesso de urbanização.

Figura 1-11 Traclos de ortofotos digitais de uma área próxima a Alanta, Geórgia. Esses dados ficam no banco de dados da Geórgia Spatial Data Infrastructure e são úteis para monitoramento da mudanças de uso da terra ao longo do tempo e do processo de urbanização.



Ortofotos Digitais de uma Área Próxima a Alanta, Geórgia

Figura 1-10 Há considerações sobre resolução espacial e temporal que precisam ser feitas para certas aplicações (Prática Colaborativa 1-1). Um maior desafio dos requisitos específicos é tempo de revisão que pode variar de dias para meses (veja o Capítulo 13).



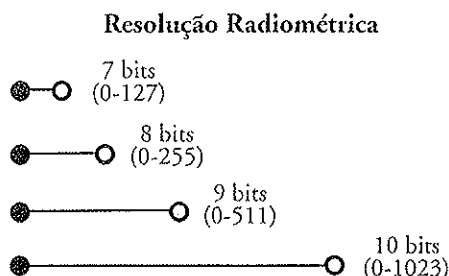


Figura 1-12 A resolução radiométrica de um sistema de sensoriamento remoto é a sensibilidade dos seus detectores a diferenças na potência do sinal ao registrarem o fluxo radiante refletido, emitido ou retroespelhado pelo terreno. A energia normalmente é quantizada durante o processo de conversão analógico-para-digital (A-D) em 8, 9, 10 bits ou mais.

### Informação de Polarização

As características de polarização da energia eletromagnética registradas por um sistema de sensoriamento remoto são uma variável importante que pode ser usada em muitas das investigações dos recursos terrestres (Curran et al., 1998). A luz solar é fracamente polarizada. Entretanto, quando a luz solar atinge um objeto não-metálico (p.ex., grama, floresta, ou concreto) ela se torna despolarizada e a energia incidente é espalhada diferencialmente. Geralmente, quanto mais lisa a superfície, maior é a polarização. É possível usar filtros de polarização em sistemas de sensoriamento remoto passivos (p.ex., câmeras aéreas) para registrar a luz polarizada em vários ângulos. Também é possível transmitir e receber seletivamente energia polarizada usando sistemas ativos de sensoriamento remoto, como o RADAR (p.ex., enviar radiação polarizada horizontal, receber radiação polarizada vertical – HV; enviar vertical, receber horizontal – VH; enviar vertical, receber vertical – VV; enviar horizontal, receber horizontal – HH). A imagem de RADAR multipolarizada é uma aplicação especialmente útil da energia polarizada.

### Informação Angular

Os sistemas de sensoriamento remoto registram características angulares muito específicas associadas com cada cristal de halito de prata exposto ou pixel (Barnsley, 1999). As características angulares são uma função da (Figura 1-13a):

- localização na esfera tridimensional da fonte de iluminação (p.ex., o Sol para um sistema passivo ou o próprio sensor no caso do RADAR, LIDAR e SONAR) e seus ângulos azimutais e zenitais associados,
- da orientação da face do terreno (pixel) ou cobertura do terreno (p.ex., vegetação) sob investigação, e

- da localização do sistema de sensoriamento remoto orbital ou suborbital e seus ângulos azimutais e zenitais associados.

Há sempre um ângulo de incidência associado à energia incidente que ilumina o terreno e um ângulo de exitância do terreno para o sistema sensor. Sabe-se que esta natureza bidirecional da coleta de dados de sensoriamento remoto influencia as características espectrais e de polarização da radiância no sensor,  $L$ , registrada pelo sistema de sensoriamento remoto.

Um *goniômetro* pode ser usado para documentar as mudanças de radiância no sensor,  $L$ , causadas pela mudança da posição do sensor e/ou da fonte de iluminação (p.ex., o Sol) (Figura 1-13b). Por exemplo, a Figura 1-13c apresenta gráficos tridimensionais dos dados de BRDF de grama (*Spartina alterniflora*) coletados às 8 a.m., 9 a.m., 12 p.m., 4 p.m. de 21 de março de 2000, para a banda de 624,20 nm. A única coisa que mudou entre as observações foi o ângulo azimutal e zenithal do Sol. Os ângulos azimutais e zenitais do spectroradiômetro foram mantidos constantes enquanto se visava a grama em estudo. Idealmente, os gráficos de BRDF seriam idênticos, sugerindo que não importa em que hora do dia coletamos os dados de sensoriamento remoto, uma vez que as características de reflectância espectral da grama lisa permanecem constantes. Fica claro que este não é o caso e que a hora do dia influencia a resposta espectral. O Multiangle Imaging Spectroradiometer (MISR), a bordo do satélite Terra, foi planejado para investigar os fenômenos de BRDF. A pesquisa continua sobre como incorporar a informação de BRDF no sistema de processamento de imagens digitais para melhorar nosso entendimento do que é registrado numa imagem de sensoriamento remoto (Sandmeier, 2000; Schill et al., 2004). A informação angular é central para usar os dados de um sensor remoto em aplicações fotogramétricas. A análise de uma imagem estereoscópica é baseada na pressuposição de que o sensoriamento remoto de um objeto no terreno dá-se a partir de dois ângulos. A visada do mesmo terreno sob duas visadas diferentes introduz a paralaxe estereoscópica, que é o fundamento para a análise fotogramétrica estereoscópica e radargramétrica (Light e Jensen, 2002).

### Sistemas Suborbitais (Aeronave) de Sensoriamento Remoto

Câmeras fotogramétricas de alta qualidade montadas a bordo de aeronaves continuam a fornecer fotografias aéreas para muitas aplicações em recursos terrestres. Por exemplo, o U.S. Geological Survey's National Aerial Photography Program (NAPP) sistematicamente coletava fotografias aéreas preto e branco ou infravermelhas coloridas na escala de

**Figura 1-13** a) Conectores de parâmetros da função de distribuição da refletância bidirecional (BRDF). Um avô recebe uma irradiação (*ali*): bandas e 76 ângulos (Sandmeier, 2000; Schill et al., 2004); c) Gráficos horários tridimensionais de dados BRDF.

b) 3D plot showing the BRDF distribution function for a grandfather receiving radiation. It shows a central angle of 0° and surrounding angles from 0° to 90°. The plot is labeled with "Fator de anisotropia" (Anisotropy factor).

c) Comparison of BRDF distribution functions for a camp sand dune. The plot shows a central angle of 0° and surrounding angles from 0° to 90°. The plot is labeled with "Fator de anisotropia" (Anisotropy factor).

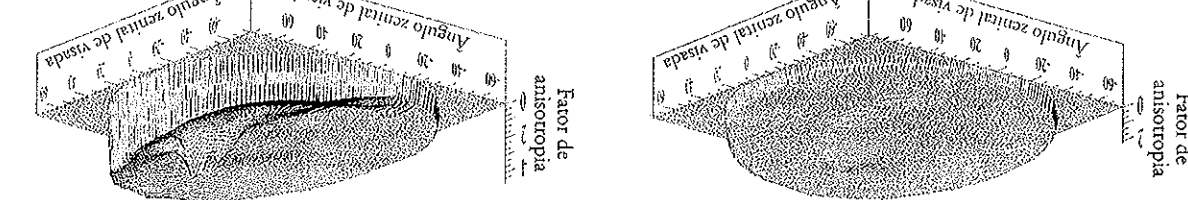
Detailed description: This section contains three 3D surface plots. Plot (a) shows the BRDF distribution function for a grandfather receiving radiation, with axes for central angle (0°) and surrounding angles (0° to 90°). Plot (b) shows the BRDF distribution function for a camp sand dune at 8:00 a.m., with axes for central angle (0°) and surrounding angles (0° to 90°). Plot (c) shows the BRDF distribution function for a camp sand dune at 12:00 p.m., with axes for central angle (0°) and surrounding angles (0° to 90°). All plots are labeled with "Fator de anisotropia" (Anisotropy factor).

a.m., 12 p.m., e 4 p.m., num campo vegetado em 21-22 de Maio de 2000, para a banda de 624,20 nm, 9

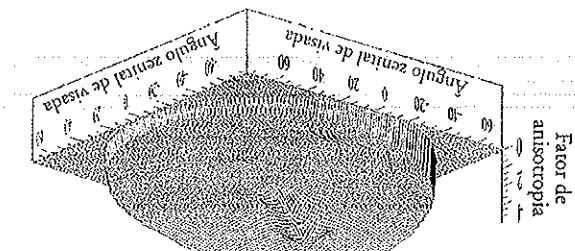
c. Comparação dos gráficos horários tridimensionais dos dados de BRDF do campo para a banda de 624,20 nm, 9

Banda 624,20 nm 12:00 p.m. 0, 57,1°φ, 169,0°

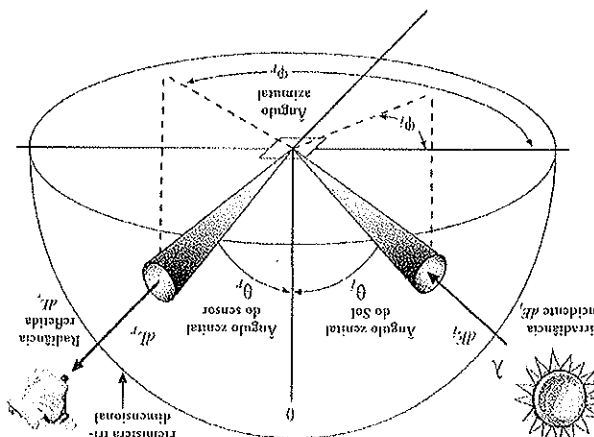
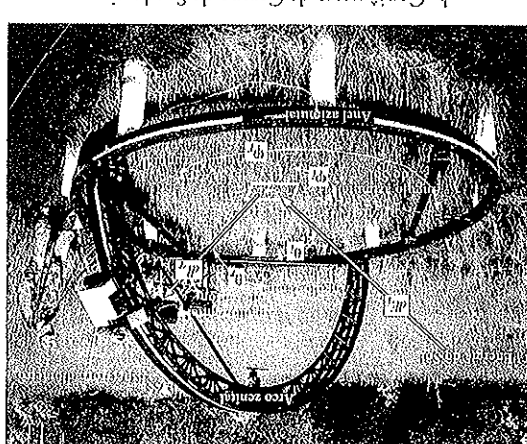
Banda 624,20 nm 4:00 p.m. 0, 29,8°φ, 248,7°



Banda 624,20 nm 8:00 a.m. 0, 32,3°φ, 113,0°



a. Reclagos angulares.



Função de Distribuição da Refletância Bidirecional (BRDF)

1:40.000 da maior parte do Estados Unidos a cada cinco ou 10 anos. Alguns desses dados fotogramétricos agora estão sendo coletados usando câmeras métricas digitais. Além disso, sofisticados sistemas de sensoriamento remoto são rotineiramente montados em aeronaves para fornecerem dados de sensoriamento remoto em altas resoluções espaciais e espectrais. Os exemplos incluem sensores hiperespectrais tais como o AVIRIS da NASA, o Canadian Airborne Imaging Spectrometer (CASI - Espectrômetro Imageador Aerotransportado), e o sistema hiperespectral australiano HyMap. Esses sensores podem coletar dados sob demanda quando ocorrem desastres (por exemplo, derramamentos de óleo ou enchentes) se as condições de cobertura de nuvem assim o permitirem. Também há numerosos radares, como o Star-3i da Intermap, que podem voar em aeronaves dia e noite e sob tempos inclementes. Infelizmente, os dados de sensores remotos suborbitais geralmente têm um alto custo por  $\text{km}^2$ . A turbulência também pode fazer com que os dados tenham severas distorções geométricas, que podem ser de difícil correção.

### Sistemas de Sensoriamento Remoto por Satélite Atuais e Propostos

Os sistemas de sensoriamento remoto a bordo de satélites fornecem dados de alta qualidade e relativamente baratos quando analisados por  $\text{km}^2$ . Por exemplo, os satélites European Remote Sensing (ERS-1 e 2) coletam imagens de micro-ondas ativas (RADAR) na banda C com resolução espacial de 26 x 28 m mesmo através das nuvens. Da mesma forma, o RADARSAT da Agência Espacial Canadense obtém imagens de micro-ondas ativas na banda C. Os Estados Unidos fizeram progresso com os sistemas de varredura multiespectrais (MSS/Landsat lançado em 1972), e com sistemas mais avançados de varredura (Enhanced Thematic Mapper Plus, do Landsat-7 em 1999). O Land Remote Sensing Policy Act (Ato Normativo de Política de Sensoriamento Remoto Terrestre) de 1992, dos Estados Unidos, especificou o futuro dos programas norte americanos de satélites de sensoriamento remoto (Asker, 1992; Jensen, 1992). Infelizmente, o Landsat-6 com o seu Enhanced Thematic Mapper não atingiu a órbita quando lançado em 5 de Outubro de 1993. O Landsat-7 foi lançado em 15 de Abril de 1999 para minimizar o problema norte americano de ausência de dados de sensoriamento remoto terrestre. Infelizmente, ele agora enfrenta sérios problemas com o seu corretor de linhas de varredura. O Capítulo 7 revisa os planos de proposta de continuidade da missão do Landsat – Landsat Data Continuity Mission. Enquanto isso, os franceses foram pioneiros no desenvolvimento da tecnologia de matrizes lineares para sensoriamento remoto, com o lançamento dos satélites SPOT-1 ao 5 em 1986, 1990, 1993, 1998, e 2002, respectivamente.

O International Geosphere-Biosphere Program (IGBP - Programa International de Geosfera – Biosfera) e o United States Global Change Research Program (USGCRP - Programa de Pesquisa em Mudanças Globais dos Estados Unidos) visam à pesquisa científica para esclarecer e entender os processos interativos físicos, químicos e biológicos que regulam todo o sistema terrestre. O sistema espacial de sensoriamento remoto é uma parte integrante desses programas de pesquisa porque fornece o único meio de observação dos ecossistemas globais de uma forma consistente e sinóptica. O Earth Science Enterprise (ESE - Programa de Ciência Terrestre) da NASA é o nome dado ao plano coordenado para fornecer as plataformas e instrumentos orbitais necessários e um Sistema de Dados e Informações para o Sistema de Observação da Terra (Earth Observing System Data and Information System - EOSDIS), e pesquisas científicas relacionadas para o IGBP. O Sistema de Observação da Terra (Earth Observing System - EOS) é uma série de satélites que orbitam a Terra e que fornecerão observações globais por 15 anos ou mais. Os primeiros satélites foram lançados no final dos anos 1990s. O EOS é complementado por missões e instrumentos em parcerias internacionais. Por exemplo, a Missão de Mapeamento da Chuva Tropical (Tropical Rainfall Mapping Mission - TRMM) é uma missão conjunta NASA/Japão.

**O Plano Científico do EOS:** Asrar e Dozier (1994) conceberam a condução da ciência do sensoriamento remoto como parte do ESE da NASA. Sugeriram que a Terra consiste de dois subsistemas: 1) o clima físico, e 2) os ciclos biogeoquímicos ligados pelo ciclo hidrológico global, como mostrado na Figura 1-14. O subsistema de *clima físico* é sensível a flutuações no balanço de radiação da Terra. As atividades humanas têm causado mudanças no mecanismo de aquecimento radiativo do Planeta que iguala ou excede as mudanças naturais. Os aumentos dos gases de efeito estufa entre 1765 e 1990 causaram uma forte radiação de  $2,5 \text{ W m}^{-2}$ . Se essa taxa for mantida, pode resultar num acréscimo da temperatura média global de cerca de 0,2 a 0,5 °C por década durante este século. As erupções vulcânicas e a capacidade dos oceanos para absorver calor podem impactar as projeções. Não obstante, as seguintes questões estão sendo colocadas usando sensoriamento remoto (Asrar e Dozier, 1994):

- Como as nuvens, vapor d'água, e aerossóis mudam os balanços de radiação e calor terrestre com o acréscimo das concentrações atmosféricas dos gases de efeito estufa?
- Como os oceanos interagem com a atmosfera no transporte e absorção de calor?
- Como as propriedades da superfície terrestre, como a neve e a cobertura de gelo, evapotranspiração, uso da terra urbana/suburbana, e a vegetação influenciam a circulação?

## O Processo do Sensoriamento Remoto

O Multianagle Imaging Spectroradiometer (MISR - Espectrômetro de Multianângulo) é o sensoriamento remoto que mais detalha a superfície terrestre e atmosférica. É composto por 36 bandas especktrais da superfície terrestre e atmosférica, da temperatura terrestre, nuvens, aerosóis, vapor d'água, precipitação e incêndios florestais.

O Multianagle Imaging Spectroradiometer (MISR - Es-

permperaturi, e incêndios florestais.

As mudanças de fase da água em seu estado gásoso, líquido e sólido envolvem o armazenamento a umidade atmosférica. As mudanças de fase da água são causadas pelo crescimento de certas células de varredura espaciais que observam a Terra em doses de carregada acoplada (CCD). Para observar a Terra em doses de carregada acoplada (CCD), os pixels de 0,9 µm com resolução espacial de 30 m, O AS-TBR é o sistema sensor que tem a menor resolução (1,6 - 2,5 µm) com resolução espacial de 30 m. O AS-TBR é o sistema sensor que tem a menor resolução espacial de 15 m e capacidade estreita, que pode ser usada em pacotes de varredura atmosférica. O MISR é o sistema que usa a varredura atmosférica para obter a maior resolução espacial da Terra. O Clouds and the Earth's Radiant Energy System (CERES) é o sistema que usa a varredura atmosférica para obter a menor resolução espacial da Terra.

O Projeto Preparatório (NPP - Preparatory Project to NPOESS) do National Polar-Orbiting Operational Environmental Satellite System (NOPESS - Sistema Nacional de Satélites Amplaia Operacionais de Orbita Polar) é o projeto que está sendo preparado para o lançamento do NPP como o Visible Infrared Imaging Radiometer Suite (VIIRS - Conjunto de Radiômetros Infravermelhos) e o MODIS (Moderate Resolution Imaging Spectroradiometer - MODIS), que possuem a mesma função de monitoramento da Terra, mas com uma resolução maior. O VIIRS é o sensor que irá monitorar a Terra com uma resolução de 30 m e uma frequência de 10 dias. O MODIS é o sensor que irá monitorar a Terra com uma resolução de 1 km e uma frequência de 10 dias. Ambos os sensores são parte do NPP, que será lançado no final de 2011.

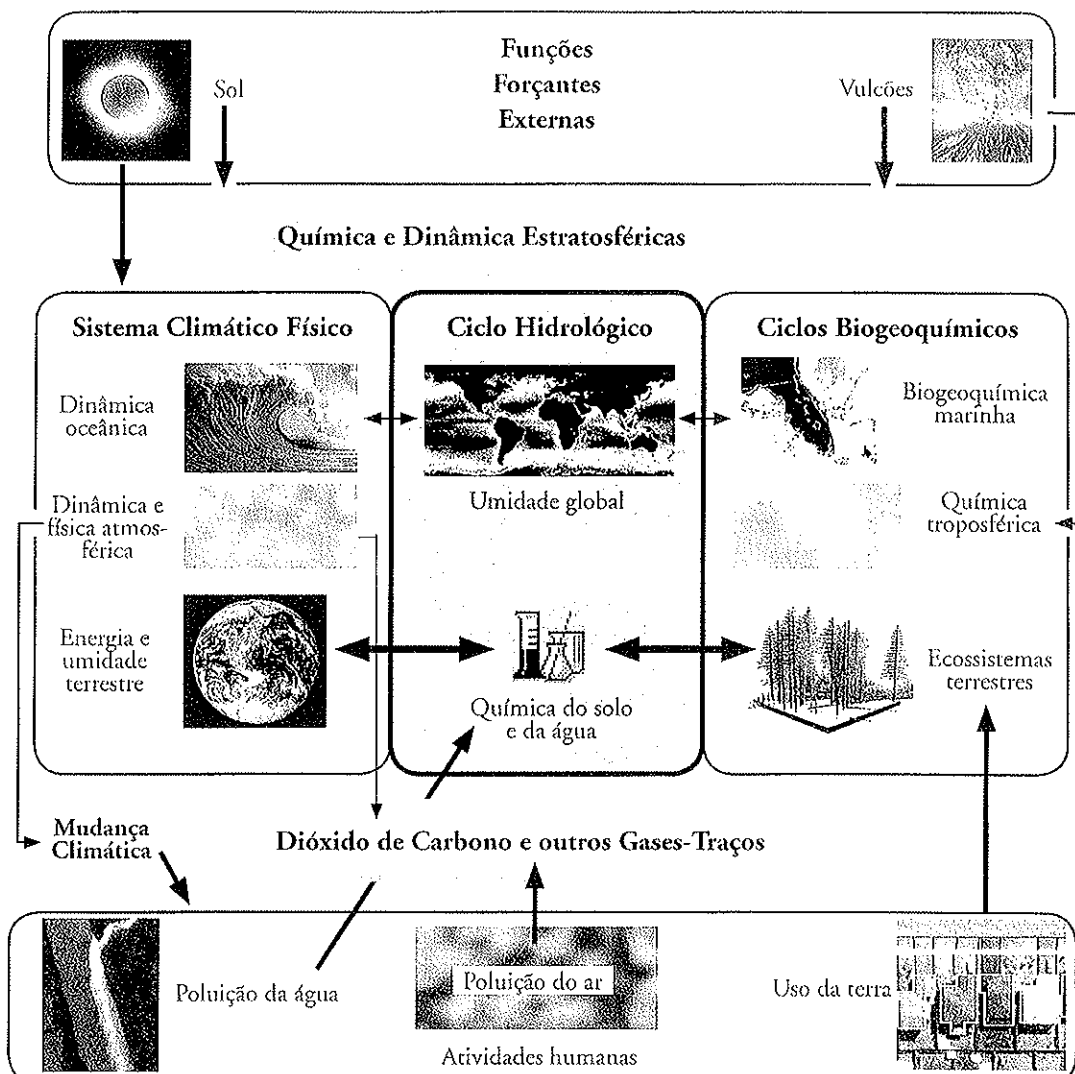
As mudanças de fase da água são causadas pelo crescimento de certas células de varredura atmosférica, que podem ser observadas por satélites como o MODIS, ASTER, MISR, CERES, e MODIS. O MODIS é o sensor que irá monitorar a Terra com uma resolução de 30 m e uma frequência de 10 dias. O MODIS é o sensor que irá monitorar a Terra com uma resolução de 1 km e uma frequência de 10 dias. Ambos os sensores são parte do NPP, que será lançado no final de 2011.

As mudanças de fase da água são causadas pelo crescimento de certas células de varredura atmosférica, que podem ser observadas por satélites como o MODIS, ASTER, MISR, CERES, e MODIS. O MODIS é o sensor que irá monitorar a Terra com uma resolução de 30 m e uma frequência de 10 dias. O MODIS é o sensor que irá monitorar a Terra com uma resolução de 1 km e uma frequência de 10 dias. Ambos os sensores são parte do NPP, que será lançado no final de 2011.

As mudanças de fase da água são causadas pelo crescimento de certas células de varredura atmosférica, que podem ser observadas por satélites como o MODIS, ASTER, MISR, CERES, e MODIS. O MODIS é o sensor que irá monitorar a Terra com uma resolução de 30 m e uma frequência de 10 dias. O MODIS é o sensor que irá monitorar a Terra com uma resolução de 1 km e uma frequência de 10 dias. Ambos os sensores são parte do NPP, que será lançado no final de 2011.

As mudanças de fase da água são causadas pelo crescimento de certas células de varredura atmosférica, que podem ser observadas por satélites como o MODIS, ASTER, MISR, CERES, e MODIS. O MODIS é o sensor que irá monitorar a Terra com uma resolução de 30 m e uma frequência de 10 dias. O MODIS é o sensor que irá monitorar a Terra com uma resolução de 1 km e uma frequência de 10 dias. Ambos os sensores são parte do NPP, que será lançado no final de 2011.

As mudanças de fase da água são causadas pelo crescimento de certas células de varredura atmosférica, que podem ser observadas por satélites como o MODIS, ASTER, MISR, CERES, e MODIS. O MODIS é o sensor que irá monitorar a Terra com uma resolução de 30 m e uma frequência de 10 dias. O MODIS é o sensor que irá monitorar a Terra com uma resolução de 1 km e uma frequência de 10 dias. Ambos os sensores são parte do NPP, que será lançado no final de 2011.



**Figura 1-14** O sistema Terra pode ser subdividido em dois subsistemas – o sistema climático físico e os ciclos biogeocíquicos – que são ligados pelo ciclo hidrológico global. Alterações significativas nas funções forçantes externas e nas atividades humanas têm impacto no sistema climático físico, nos ciclos biogeocíquicos, e no ciclo hidrológico global. O exame desses subsistemas e suas ligações define as questões críticas que o Sistema de Observação da Terra (EOS - Earth Observing System), da NASA, está tentando responder (adaptado de Asrar e Dozier, 1994).

**Empresas Comerciais:** A Space Imaging, Inc., lançou o IKONOS-2 em 24 de setembro de 1999. O sistema sensor do IKONOS-2 tem uma banda pancromática e quatro bandas multiespectrais de 4 x 4 m (tabela 1-3). A DigitalGlobe, Inc., lançou o QuickBird em 18 de Outubro de 2001, com uma banda pancromática e quatro bandas multiespectrais de 2,44 x 2,44 m. A Orbimage, Inc., lançou o OrbView-3 em 26 Junho de 2003 com uma banda pancromática de 1 x 1m e bandas multiespectrais de 4 x 4m.

#### Análise de Dados de Sensoriamento Remoto

Os dados de um sensor remoto são analisados usando uma variedade de técnicas de processamento de imagens (Figuras 1-5 e 1-15), incluindo:

- Processamento analógico (visual) de imagens, e
- Processamento digital de imagens.

processos de sensoramento remoto. As análises analógica e digital de dados de sensoramento remoto permitem a utilização de todos os tipos de dispositivos de sensoramento remoto para obter informações sobre como a paisagem se encontra em diferentes períodos. Por exemplo, é possível obter informações sobre a vegetação, o solo, a água e o ar, entre outros. Essas informações são usadas para identificar feições de interesse, como rios, montanhas, florestas, prados e cidades. Através da análise analógica, é possível identificar padrões e tendências nas imagens, que podem ser usadas para prever mudanças futuras na paisagem. A análise digital, por outro lado, permite a extração de características quantitativas das imagens, que podem ser usadas para gerar mapas temáticos, como mapas de uso do solo, mapas de vegetação, mapas de solo e mapas de água.

O resultado final da análise analógica é uma descrição qualitativa das características da paisagem, enquanto o resultado final da análise digital é uma descrição quantitativa das mesmas características. Ambas as abordagens têm suas vantagens e desvantagens. A análise analógica é mais intuitiva e pode ser realizada sem muita formação prévia, enquanto a análise digital requer mais conhecimento técnico. No entanto, a análise digital é mais precisa e eficiente, especialmente para tarefas que envolvem a detecção de padrões complexos ou a identificação de feições raras. Portanto, é importante escolher a abordagem mais adequada para cada tipo de análise.

As análises analógicas e digitais de dados de sensoramento remoto permitem a extração de informações úteis para a tomada de decisões. Por exemplo, as análises analógicas podem ser usadas para identificar áreas com riscos elevados de erosão, enquanto as análises digitais podem ser usadas para identificar áreas com riscos elevados de incêndios. Ambas as abordagens permitem a criação de mapas temáticos que podem ser usados para planejar a conservação ambiental, a agricultura e a urbanização. No entanto, é importante lembrar que as análises analógicas e digitais devem ser complementares, e não substitutivas, para uma análise completa da paisagem.

## Processamento Analógico (Visual) de Imagens

O processo de processamento analógico de imagens envolve a análise visual das imagens para extrair informações relevantes. Esse processo é geralmente dividido em três etapas principais: detecção de feições, classificação de feições e geração de mapas. A detecção de feições envolve a identificação de padrões característicos nas imagens, como bordas, texturas e cores. A classificação de feições envolve a atribuição de uma categoria a cada feição identificada, com base em critérios pré-estabelecidos. A geração de mapas envolve a representação dos resultados da classificação em forma de mapas temáticos, que podem ser usados para planejar a conservação ambiental, a agricultura e a urbanização. O resultado final é um mapa temático que mostra as feições identificadas e suas respectivas categorias.

O resultado final da análise analógica é uma descrição qualitativa das características da paisagem, enquanto o resultado final da análise digital é uma descrição quantitativa das mesmas características. Ambas as abordagens têm suas vantagens e desvantagens. A análise analógica é mais intuitiva e pode ser realizada sem muita formação prévia, enquanto a análise digital requer mais conhecimento técnico. No entanto, a análise digital é mais precisa e eficiente, especialmente para tarefas que envolvem a detecção de padrões complexos ou a identificação de feições raras. Portanto, é importante escolher a abordagem mais adequada para cada tipo de análise.

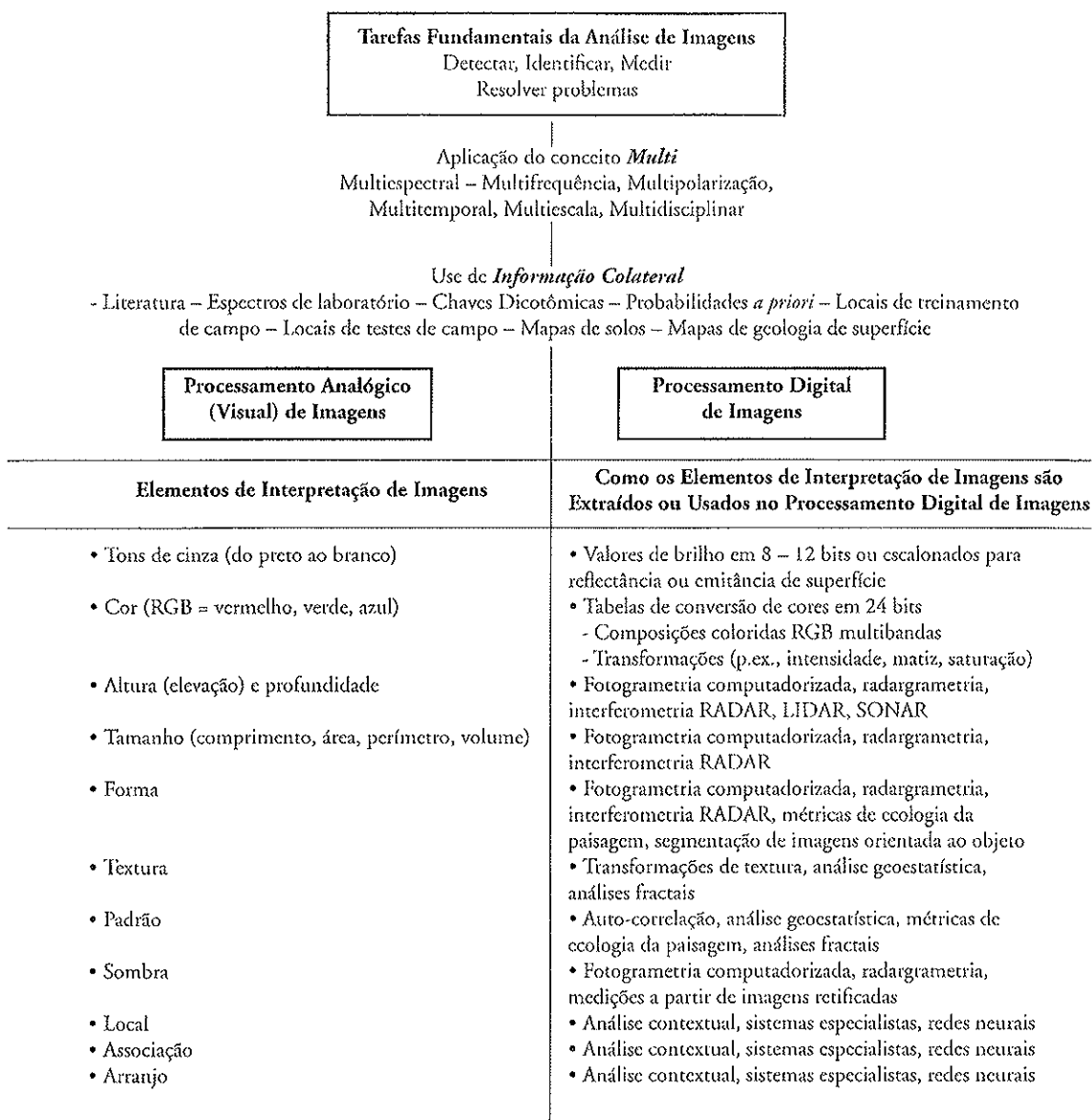


Figura 1-15 Os processamentos analógico (visual) e digital de imagens de sensoriamento remoto usam os elementos de interpretação de imagens.

**Correção Geométrica de Dados de Sensores Remotos:** A maioria dos dados analógicos e digitais de sensores remotos é agora processada de tal forma que os elementos de imagens individuais fiquem em suas posições planimétricas apropriadas numa projeção cartográfica padrão. Isto facilita o uso da imagem e produtos derivados em sistemas de suporte à decisão espacial ou em GIS.

**Realce de Imagens:** As imagens podem ser realçadas digitalmente para identificar informações sutis em imagens

analogicas ou digitais que de outra forma seriam perdidas. Foram feitos avanços significativos na nossa habilidade para realçar contrastes e filtrar dados para realçar componentes de alta ou baixa freqüência, bordas e texturas em imagens (p.ex., Emerson et al., 1999). Além disso, os dados de sensores remotos podem ser linearmente e/ou não-linearmente transformados em informação que seja mais altamente correlacionada com os fenômenos do mundo real por meio de análises de componentes principais e vários índices de vegetação (Townshend e Justice, 2002).

partir de dados de treinamento sem a intervenção humana. Imediamente, os computadores podem derivar as regras a partir de informações obtidas de classificações digitais de imagens.

**Extrágado de Informação Não-Paramétrica:** Algoritmos de agrupamento não-paramétricos, como o ISODATA, contam com um grande uso de dados de treinamento para estimar classes de informações (ex., Wang, 2003). Isto é feito com base em distâncias entre os dados de treinamento e os novos dados. A medida de distância entre dois dados é dada por:  

$$d(x_i, x_j) = \sqrt{\sum_{k=1}^n (x_{ik} - x_{jk})^2}$$

Onde  $x_i$  e  $x_j$  são os vetores de características de dois dados, e  $n$  é o número de características. O resultado é uma matriz de distâncias entre todos os dados. A partir da matriz de distâncias, é possível identificar os grupos de dados. Os dados são agrupados em clusters, que são definidos por critérios estatísticos, como a similaridade entre os dados ou a variação entre os dados.

**Extrágado de Informação Não-Métrica:** É difícil fazer um extrágado de informática não-métrica, porque é necessário que os dados sejam classificados em clusters. Isso pode ser feito usando algoritmos de agrupamento, como o k-means, que dividem os dados em clusters. No entanto, é difícil determinar o número de clusters corretamente. Para isso, é necessário usar métodos de validação, como o critério do肘 (elbow), que indica quando os dados devem ser divididos em clusters.

**Fotogrametria:** Aavanços significativos foram feitos na área de fotogrametria estereoscópica de sensores remotos orbitais por plataformas aéreas e satélites usados para processamento de dados estereoscópicos de sensores remotos orbitais. A utilização de sensores remotos orbitais para processamento de dados estereoscópicos de sensores remotos orbitais é uma área de pesquisa que tem sido intensificada nos últimos anos. A utilização de sensores remotos orbitais para processamento de dados estereoscópicos de sensores remotos orbitais é uma área de pesquisa que tem sido intensificada nos últimos anos.

classes de informações (p.ex., Foody, 1996).

**Extrágado de Informação Não-Paramétrica:** Algoritmos de agrupamento não-paramétricos, como o ISODATA, contam com um grande uso de dados de treinamento para estimar classes de informações (p.ex., Wang, 2003). Isto é feito com base em distâncias entre os dados de treinamento e os novos dados. A medida de distância entre dois dados é dada por:  

$$d(x_i, x_j) = \sqrt{\sum_{k=1}^n (x_{ik} - x_{jk})^2}$$

Onde  $x_i$  e  $x_j$  são os vetores de características de dois dados, e  $n$  é o número de características. O resultado é uma matriz de distâncias entre todos os dados. A partir da matriz de distâncias, é possível identificar os grupos de dados. Os dados são agrupados em clusters, que são definidos por critérios estatísticos, como a similaridade entre os dados ou a variação entre os dados.

**Extrágado de Informação Não-Paramétrica:** Algoritmos de agrupamento não-paramétricos, como o ISODATA, contam com um grande uso de dados de treinamento para estimar classes de informações (p.ex., Wang, 2003). Isto é feito com base em distâncias entre os dados de treinamento e os novos dados. A medida de distância entre dois dados é dada por:  

$$d(x_i, x_j) = \sqrt{\sum_{k=1}^n (x_{ik} - x_{jk})^2}$$

Onde  $x_i$  e  $x_j$  são os vetores de características de dois dados, e  $n$  é o número de características. O resultado é uma matriz de distâncias entre todos os dados. A partir da matriz de distâncias, é possível identificar os grupos de dados. Os dados são agrupados em clusters, que são definidos por critérios estatísticos, como a similaridade entre os dados ou a variação entre os dados.

**Extrágado de Informação Não-Paramétrica:** Algoritmos de agrupamento não-paramétricos, como o ISODATA, contam com um grande uso de dados de treinamento para estimar classes de informações (p.ex., Wang, 2003). Isto é feito com base em distâncias entre os dados de treinamento e os novos dados. A medida de distância entre dois dados é dada por:  

$$d(x_i, x_j) = \sqrt{\sum_{k=1}^n (x_{ik} - x_{jk})^2}$$

Onde  $x_i$  e  $x_j$  são os vetores de características de dois dados, e  $n$  é o número de características. O resultado é uma matriz de distâncias entre todos os dados. A partir da matriz de distâncias, é possível identificar os grupos de dados. Os dados são agrupados em clusters, que são definidos por critérios estatísticos, como a similaridade entre os dados ou a variação entre os dados.

**Extrágado de Informação Não-Paramétrica:** Algoritmos de agrupamento não-paramétricos, como o ISODATA, contam com um grande uso de dados de treinamento para estimar classes de informações (p.ex., Wang, 2003). Isto é feito com base em distâncias entre os dados de treinamento e os novos dados. A medida de distância entre dois dados é dada por:  

$$d(x_i, x_j) = \sqrt{\sum_{k=1}^n (x_{ik} - x_{jk})^2}$$

Onde  $x_i$  e  $x_j$  são os vetores de características de dois dados, e  $n$  é o número de características. O resultado é uma matriz de distâncias entre todos os dados. A partir da matriz de distâncias, é possível identificar os grupos de dados. Os dados são agrupados em clusters, que são definidos por critérios estatísticos, como a similaridade entre os dados ou a variação entre os dados.

**Fotogrametria:** Aavanços significativos foram feitos na área de fotogrametria estereoscópica de sensores remotos orbitais por plataformas aéreas e satélites usados para processamento de dados estereoscópicos de sensores remotos orbitais. A utilização de sensores remotos orbitais para processamento de dados estereoscópicos de sensores remotos orbitais é uma área de pesquisa que tem sido intensificada nos últimos anos. A utilização de sensores remotos orbitais para processamento de dados estereoscópicos de sensores remotos orbitais é uma área de pesquisa que tem sido intensificada nos últimos anos.

na. A isso se chama *aprendizagem da máquina* (Huang e Jensen, 1997; Jensen, 2005). O analista identifica áreas de treinamento representativas. A máquina aprende os padrões a partir desses dados de treinamento, cria as regras, e as usa para classificar os dados de sensoriamento remoto. As regras são disponíveis para documentar como as decisões são feitas.

**Hiperespectral:** São necessários softwares especiais para processar dados hiperespectrais obtidos por espectrômetros imageadores como o AVIRIS e o MODIS. Kruse et al. (1992), Landgrebe e Biehl (2006), Digital Research Systems (2006) e outros foram pioneiros no desenvolvimento de software de análise de imagens hiperespectrais. O software reduz a dimensionalidade dos dados (números de bandas) a um grau gerenciável, embora retenha a essência dos dados. Sob certas condições o software pode ser usado para comparar as curvas de reflectância espectral obtidas por sensoriamento remoto com uma biblioteca de curvas de reflectância espectral. Os analistas também são capazes de identificar o tipo e a proporção dos diferentes materiais contidos num elemento de imagem individual (chamada de análise de mistura espectral dos membros individuais) (Lu e Weng, 2004; Platt e Goetz, 2004).

**Modelagem de Imagem de Sensoriamento Remoto Usando uma Abordagem GIS:** Dados de sensoriamento remoto não deveriam ser analisados num vácuo, sem o benefício de informações colaterais, tais como mapas de solos, hidrologia e topografia (Ramsey et al., 1995). Por exemplo, o mapeamento de cobertura da terra usando dados de sensoriamento remoto é significativamente melhorado pela incorporação de informação topográfica a partir de modelos digitais do terreno e outros dados GIS (p.ex., Stow et al., 2003). Os estudos de GIS requerem atualizações precisas e periódicas das variáveis distribuídas espacialmente na base de dados, as quais o sensoriamento remoto pode fornecer. O sensoriamento remoto pode beneficiar-se do acesso à informação auxiliar precisa para melhorar a exatidão da classificação e outros tipos de modelagem. Tal sinergia é crítica para que as análises com sistemas especialistas e redes neurais sejam feitas satisfatoriamente (Tullis e Jensen, 2003). A estrutura conceitual da modelagem da incerteza entre o sensoriamento remoto e os sistemas de informação geográfica foi desenvolvida por Gahegan e Ehlers (2000).

**Modelagem de Cena:** Strahler et al. (1986) descrevem a estrutura conceitual para a modelagem em sensoriamento remoto. Basicamente, um modelo de sensoriamento remoto tem três componentes: 1) um modelo de cena, que especifica a forma e a natureza da energia e da matéria no interior da cena e sua ordem espacial e temporal; 2) um modelo atmosférico, que descreve a interação entre a

atmosfera e a energia incidente e emitida da cena; e 3) um modelo de sensor, que descreve o comportamento do sensor em resposta aos fluxos de energia incidentes sobre si e na produção das medidas que constituem a imagem. Eles sugerem que o problema da inferência da cena, então, torna-se um problema de inversão de modelo, no qual a ordem na cena é reconstruída a partir da imagem e do modelo de sensoriamento remoto. Por exemplo, Woodcock et al. (1997) inverteiram o modelo de reflectância de dossel de Li-Strahler para o mapeamento da estrutura da floresta.

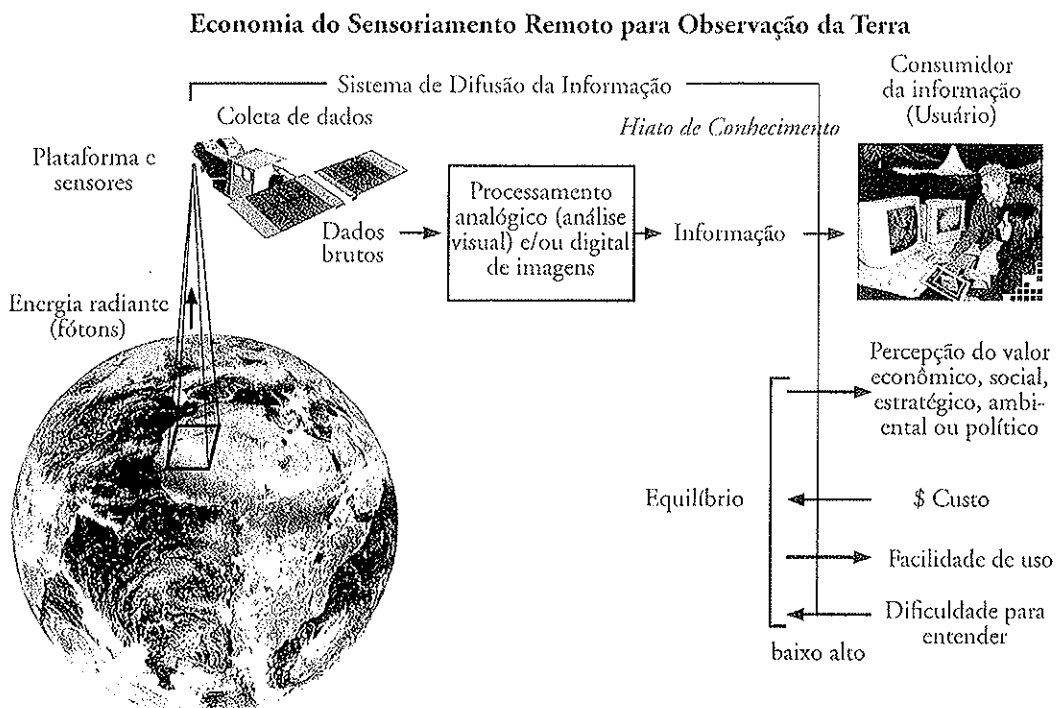
Basicamente, uma modelagem satisfatória em sensoriamento remoto prevê quanto do fluxo radiante em certos comprimentos de onda deveria deixar um objeto particular (p.ex., um dossel de coníferas), mesmo sem efetivamente estar fazendo o sensoriamento remoto do objeto. Quando a predição do modelo é a mesma da medição pelo sensor, a relação foi corretamente modelada. O cientista então tem uma melhor avaliação das interações energia-matéria na cena e pode ser capaz de estender com confiança a lógica a outras regiões ou aplicações. Os dados de sensores remotos podem então ser usados mais efetivamente em modelos físico-determinísticos (p.ex., modelos de escoamento superficial da água em bacias de drenagem, produtividade primária líquida, e evapotranspiração), que são tão importantes para a modelagem de grandes ecossistemas. Um trabalho recente permite que se modele a utilidade de sensores com diferentes resoluções espaciais para aplicações particulares, como análises urbanas (Collins e Woodcock, 1999).

**Detecção de Mudança:** Dados de sensoriamento remoto obtidos em múltiplas datas podem ser usados para identificar o tipo e a distribuição de mudanças que ocorrem na paisagem (Friedl et al., 2002; Zhan et al., 2002). A informação de mudanças fornece preciosa intuição compreensiva sobre os processos em ação (Alberti et al., 2002; Auch et al., 2004). Os algoritmos de detecção de mudanças podem ser usados em classificações por pixel e orientadas ao objeto (polígono). Infelizmente, ainda não há um método universalmente aceito para detecção de mudança ou para avaliação da exatidão dos produtos em mapas de detecção de mudança. Os princípios de processamento digital de imagens para detecção de mudanças são discutidos em Jensen (2005).

### Apresentação da Informação

A informação derivada dos dados de sensores remotos é geralmente apresentada como uma imagem realçada, um mapa-imagem, ortofotomaps, mapas temáticos, arquivos espaciais em bancos de dados, estatísticas, ou gráficos (Figura 1-5). Assim, os produtos de saída finais frequentemente requerem conhecimentos de sensoriamento remoto, cartografia, GIS e estatísticas espaciais, assim como





**Figura 1-16** Economia do sensoriamento remoto para observação da Terra. O objetivo é minimizar o hiato de conhecimento entre o sistema de geração de informação, o especialista em sensoriamento remoto, e o consumidor da informação (usuário). A informação econômica, social, estratégica, ambiental, e/ou política gerada pelo sensoriamento remoto deve ser custo-efetiva, e ser fácil de usar a fim de atingir um equilíbrio (adaptado de Miller et al., 2003).

Miller et al. (2001; 2003) sugerem que esta situação cria um *vazio de conhecimento* entre os especialistas em sensoriamento remoto e os consumidores de informação (usuários) (Figura 1-16). Fazer a ponte para superar esse vazio é mandatório se vamos usar o sensoriamento remoto para resolver problemas de gerenciamento ambiental. É improvável que a comunidade de usuários vá devotar tempo para aprender a física do sensoriamento remoto e os métodos de análise e processamento de imagens analógicas e/ou digitais e a modelagem em GIS necessários para produzir uma informação útil. Por outro lado, há um considerável interesse pelo lado tecnológico do problema para construir uma ponte de comunicação. Portanto, uma maneira de diminuir o tamanho do vazio de conhecimento é que os técnicos em sensoriamento remoto trabalhem ao lado da comunidade de usuários para entender seus requisitos. Isso levará a uma informação de sensoriamento remoto mais útil e que seja de valor para as comunidades de usuários.

Os avanços nos sistemas de entrega de imagens de sensoriamento remoto por empresas comerciais como a Google, Inc., e seu aplicativo Google Earth estão tendo um tre-

mendo impacto na opinião e no uso dos dados de sensoriamento remoto pelo público em geral (Fallows, 2006).



#### Perspectiva da Análise de Recursos Terrestres

O sensoriamento remoto é usado para muitas aplicações, tais como análise de imagens médicas (p.ex., raios-x de um braço quebrado), avaliação não-destrutiva de produtos numa linha de montagem, e análise de recursos da Terra. *O foco deste livro é na arte e ciência da aplicação do sensoriamento remoto para a extração de informação sobre os recursos da Terra* (Figura 1-17). Informação dos recursos da Terra é definida como qualquer informação concernente à vegetação, solos, minerais, rochas, água e infraestrutura urbana terrestres, bem como certas características atmosféricas. Tais informações podem ser úteis para a modelagem do ciclo global do carbono, da biologia e bioquímica dos ecossistemas, de aspectos dos ciclos globais da água e da energia, da variabilidade e previsão do clima, da química atmosférica, das características da Terra sólida, das estimativas populacionais, e do monitoramento da mudança de uso da terra e desastres naturais (Johannsen et al., 2003).

Figura 1-17 Organização do *In-vivo*.



Organização do  
*livro Sensoriamento Remoto do Ambiente*

<b>Capítulo 12.</b> <b>Sensoriamento Remoto da Água</b> <ul style="list-style-type: none"> <li>• Características Biofísicas da Água Superficial           <ul style="list-style-type: none"> <li>◦ Precipitação</li> <li>◦ Acrossós e Nuvens</li> <li>◦ Vapor D'Água e Neve</li> </ul> </li> <li>• Modelagem da Qualidade da Água</li> </ul>	<b>Capítulo 14.</b> <b>Sensoriamento Remoto de Solos, Minerais e Geomorfologia</b> <ul style="list-style-type: none"> <li>• Características e Taxonomia de Solos</li> <li>• Sensoriamento Remoto das Propriedades dos Solos           <ul style="list-style-type: none"> <li>◦ Sensoriamento Remoto de Rochas e Minerais</li> <li>◦ Geologia e Geomorfologia</li> </ul> </li> </ul>
<b>Capítulo 13.</b> <b>Sensoriamento Remoto das Feições Urbanas</b> <ul style="list-style-type: none"> <li>• Considerações sobre Resolução Urbana/Periurbana</li> <li>• Sensoriamento Remoto do Uso/Cobertura da Terra           <ul style="list-style-type: none"> <li>◦ Residencial</li> <li>◦ Comércio e Serviços</li> <li>◦ Industrial e Transportes</li> <li>◦ Comunicações e Infraestrutura</li> <li>◦ Dados Meteorológicos Urbanos</li> </ul> </li> <li>• Avaliação de Áreas Ambientais Críticas</li> <li>• Resposta a Desastres Emergenciais</li> </ul>	<b>Capítulo 15.</b> <b>Medições de Reflectância Espectral <i>In Situ</i></b> <ul style="list-style-type: none"> <li>• Reflectância Espectral de um Material</li> <li>• Considerações sobre a Iluminação</li> <li>• Considerações sobre o Radiômetro</li> </ul>

Figura 1-17 Organização do livro (continuação).



### Organização do Livro

Este capítulo definiu termos e forneceu uma perspectiva de como a ciência do sensoriamento remoto pode ser útil para pesquisas sobre os recursos da Terra (Figura 1-17). O Capítulo 2 introduz princípios de energia eletromagnética e como ela é usada para fazer o sensoriamento remoto do ambiente. O Capítulo 3 revê a história da fotografia, as plataformas aéreas e os satélites. O Capítulo 4 introduz a fotografia aérea, filtros e filmes. O Capítulo 5 apresenta os elementos de fotointerpretação. O Capítulo 6 revê os princípios de fotogrametria usados para extrair informação quantitativa da fotografia aérea. O Capítulo 7 revê os sistemas opto-mecânicos de sensoriamento remoto. O Capítulo 8 introduz o sensoriamento remoto no infravermelho termal. O Capítulo 9 revê o sensoriamento remoto passivo e ativo (RADAR) nas micro-ondas. O Capítulo 10 introduz o sensoriamento remoto usando a tecnologia de detecção e medição de distância pela luz (LIDAR). O Capítulo 11 descreve como o sensoriamento remoto é usado para extraír características biofísicas da vegetação terrestre e aquática. O Capítulo 12 fornece ideias sobre o sensoriamento remoto da água, gelo e neve, bem como o vapor d'água e temperatura atmosféricos. O Capítulo 13 demonstra como o sensoriamento remoto pode forne-

cer uma informação única sobre a infraestrutura urbana/periurbana. O Capítulo 14 descreve como características selecionadas de solos e minerais podem ser obtidas por sensoriamento remoto e como importantes feições geomórficas da superfície da Terra podem ser identificadas. O Capítulo 15 descreve como são obtidas medidas de reflectância espectral *in situ*.



### Referências

Adams, J. C. and J. H. Chandler, 2002, "Evaluation of Lidar and Medium Scale Photogrammetry for Detecting Soft-cliff Coastal Change," *Photogrammetric Record*, 17(99): 405–418.

Alberti, M., Weeks, R. and S. Coe, 2004, "Urban Land-Cover Change Analysis in Central Puget Sound," *Photogrammetric Engineering & Remote Sensing*, 70(9):1043–1052.

American Society for Photogrammetry and Remote Sensing, 1952, 1966, *Manual of Photogrammetry*, Bethesda: ASP&RS.

Asker, J. R., 1992, "Congress Considers Landsat 'Decommercialization' Move," *Aviation Week & Space Technology*, May 11, 18–19.

- Aster, G., 2004, Earth Science Applications Plan, Washington, NASA, 89 p.
- Dahleberg, R., W. and J., R., Jenson, 1986, "Education for Cartography and Remote Sensing in the United States Case," *American Cartographer*, 13(1):51-71.
- Darrell, P. and J., V., Gardeci, 2004, "Predicting Seafloor Facies from Multibeam bathymetry and Backscatter Data," *Photogrammetric Engineering & Remote Sensing*, 70(9):1081-1091.
- Davies, B., A., 1999, "Overview of NASA's Commercial Remote Sensing Program," *Earth Observation Journal*, 2000, 58 p.
- Dechavez, X., A. and A. M. Horlini, 2000, *Secrets for Sale* How Commercial Satellite Imagery Will Change the World, Washington, NY: John Wiley, 45 p.
- Dobson, J., E., 1993, "Commercial Satellite Imaging & Remote Sensing: A Conceptual Framework for Integrating Geospatial Information Systems, and Geography," *Photogrammetric Engineering & Remote Sensing*, 59(10):1491-1496.
- Duda, R., O., Hart, P. E. and D. G. Stork, 2001, *Pattern Classification*, New York, John Wiley, 394-452.
- Dominguez, J., Barnesley, M., J. and P. A., Longley, 2001, *Remote Sensing and Urban Analysis*, New York, Taylor & Francis, 268 p.
- Emerson, C., W., Lam, N. and D. A., Quattrochi, 1999, "Multiscale Fractal Analyses of Image Texture and Patterns," *Photogrammetric Engineering & Remote Sensing*, 65(1):51-61.
- Faulkner, J., E., and J., R., Jenson, 1998, "Development of Remote Sensing Techniques for Landform Morphometry," *Journal of Geographic Information Systems*, 8(1):140-144.
- Fisher, P. H. and R. B., Lindenbergh, 1989, "On Distinctions among Cartography, Remote Sensing, and Geographic Information Systems," *Photogrammetric Engineering & Remote Sensing*, 55(10):1431-1434.
- Gurnani, P. J., Milton, E. J., Atkinson, P. M. and G. M. Boddy, E., Longley, et al. (Eds.), *Geocomputation: From Data to Understanding*, John Wiley, 33-59.
- Curran, P. J., 1987, "Remote Sensing Methodologies and Geography," *Intl Journal of Remote Sensing*, 8:1255-1275.
- Curran, P. J., 1993, *Introduction to Remote Sensing*, Taylor & Francis, 293 p.
- Cracknell, A. P. and L. W. B. Hayes, 1993, *Introduction to Remote Sensing*, London: Taylor & Francis, 293 p.
- Colwell, R. N., 1997, "History and Place of Photographic Interpretation," in *Manual of Photographic Interpretation*, 2nd Ed., W. R. Phillipson (Ed.), Bethesda: ASPRS, 33-48.
- Colwell, R. N., 1984, "From Photographic Interpretation to Interpretation," in *Manual of Photographic Interpretation*, 2nd Ed., W. R. Phillipson (Ed.), Bethesda: ASPRS, 3-1305.
- Colwell, R. N., 1984, "Photogrammetric Engineering and Remote Sensing," *Photogrammetric Engineering & Remote Sensing*, 50(9):1305.
- Colwell, R. N. (Ed.), 1983, *Manual of Remote Sensing*, 2nd Ed., Falls Church: ASPRS.
- Colwell, R. N., 1960, *Manual of Photographic Interpretation*, 2nd Edition, Falls Church: ASPRS.
- Collins, J. B. and C. E. Woodcock, 1999, "Geostatistical Estimation of Resolution-Dependent Variance in Remotely Sensed Images," *Photogrammetric Engineering & Remote Sensing*, 65(1):41-50.
- Clarke, K. C., 2001, *Getting Started with Geospatial Information Systems*, Upper Saddle River: Prentice-Hall, 353 p.
- Clark, R. N., 1999, *Spectroscopy of Rocks and Minerals, and Principles of Spectroscopy*, Denver: U.S. Geological Survey, http://speclab.cr.usgs.gov/, 58 p.
- Bosscher, J. D., Jenson, J., R., McMastre, R., B. and C. Rizzo, 2002, *Manual of Geospatial Science & Technology*, London: Taylor & Francis, 623 p.
- Barnesley, M., 1999, "Digital Remotely Sensed Data and Mutation Systems," *John Wiley*, 451-466.
- Auchi, R., Taylor, J. and W., Acevedo, 2004, *Urban Growth in American Cities - Glimpses of U. S. Urbanization*, Circular #1252, Washington: U.S. Geological Survey, 52.
- American Institute of Physics, 342 p.
- McGwire, D. J. and D. W. Longley, P. E., Goodchild, M. F., Their Characteristics," in Longley, P. E., Goodchild, M. F., McGwire, D. J., and D. W. Richland (Eds.), *Geographical Information Systems*, NY: John Wiley, 451-466.
- American Society for the Earth Observing System, Woodbury, MA: *Strategies for the Earth Observing System*, Woodsbury, MA: American Institute of Physics, 342 p.
- Aster, G., 2004, *Earth Science Applications Plan*, Washington, EOS: Science in America - Glimpses of U. S. Urbanization, Circular #1252, Washington: U.S. Geological Survey, 52.
- American Institute of Physics, 342 p.
- American Society for the Earth Observing System, Woodbury, MA: *Strategies for the Earth Observing System*, Woodsbury, MA: American Institute of Physics, 342 p.

- Foody, G. M., 1996, "Approaches for the Production and Evaluation of Fuzzy Land Cover Classifications from Remotely Sensed Data," *Intl. Journal of Remote Sensing*, 17(7):1317-1340.
- Friedl, M. A., McIver, D. K., Hodges, J. C. E., Zhang, X. Y., Muchoney, D., Strahler, A. H., Woodcock, C. E., Gopal, S., Schneider, A., Cooper, A., Baccini, A., Gao, F. and C. Schaaf, 2002, "Global Land Cover Mapping from MODIS: Algorithms and Early Results," *Remote Sensing of Environment*, 83:287-302.
- Fussell, J., Rundquist, D. and J. A. Harrington, 1986, "On Defining Remote Sensing," *Photogrammetric Engineering & Remote Sensing*, 52(9):1507-1511.
- Gahegan, M., 2003, "Is Inductive Machine Learning Just Another Wild Goose (or Might It Lay the Golden Egg)?" *Intl. Journal of GIScience*, 17(1):69-92.
- Gahegan, M. and M. Ehlers, 2000, "A Framework for the Modelling of Uncertainty Between Remote Sensing and Geographic Information Systems," *ISPRS Journal of Photogrammetry & Remote Sensing*, 55:176-188.
- GeoEyc, 2006, ORBIMAGE Acquires Space Imaging and Changes Brand Name to GeoEye, Dulles: GeoEye, Inc., <http://www.orbimage-acquisition.com/news/geoeyc.htm>.
- Goetz, S. J., 2002, "Recent Advances in Remote Sensing of Biophysical Variables: An Overview of the Special Issue," *Remote Sensing of Environment*, 79:145-146.
- Haack, B., Guptill, S. C., Holz, R. K., Jampoler, S. M., Jensen, J. R. and R. A. Welch, 1997, "Urban Analysis and Planning," *Manual of Photographic Interpretation*, Bethesda: ASP&RS, 517-553.
- Herold, M., Guenther, S. and K. Clarke, 2003, "Mapping Urban Areas in the Santa Barbara South Coast Using IKONOS Data and eCognition," *eCognition Application Note*, Munich: Definiens Imaging GmbH, 4(1):3.
- Hodgson, M. E., Jensen, J. R., Tullis, J. A., Riordan, K. D. and C. M. Archer, 2003a, "Synergistic Use of LIDAR and Color Aerial Photography for Mapping Urban Parcel Imperviousness," *Photogrammetric Engineering & Remote Sensing*, 69(9):973-980.
- Hodgson, M. E., Jensen, J. R., Schmidt, L., Schill, S. and B. A. Davis, 2003b, "An Evaluation of LIDAR- and IFSAR-derived Digital Elevation Models in Leaf-on Conditions with USGS Level 1 and Level 2 DEMS," *Remote Sensing of Environment*, 84(2003):295-308.
- Hodgson, M. E., Jensen, J. R., Raber, G., Tullis, J., Davis, B., Thompson, G. and K. Schuckman, 2005, "An Evaluation of LIDAR derived Elevation and Terrain Slope in Leaf-off Conditions," *Photogrammetric Engineering & Remote Sensing*, 71(7):817-823.
- Huang, X. and J. R. Jensen, 1997, "A Machine Learning Approach to Automated Construction of Knowledge Bases for Image Analysis Expert Systems That Incorporate Geographic Information System Data," *Photogrammetric Engineering & Remote Sensing*, 63(10):1185-1194.
- Jensen, J. R., 1992, "Testimony on S. 2297, The Land Remote Sensing Policy Act of 1992," Senate Committee on Commerce, Science, and Transportation, *Congressional Record*, (May 6):55-69.
- Jensen, J. R., 2005, *Introductory Digital Image Processing: A Remote Sensing Perspective*, Upper Saddle River: Prentice-Hall, 525 p.
- Jensen, J. R. and D. C. Cowen, 1999, "Remote Sensing of Urban/ Suburban Infrastructure and Socioeconomic Attributes," *Photogrammetric Engineering & Remote Sensing*, 65(5):611-622.
- Jensen, J. R. and R. E. Dahlberg, 1983, "Status and Content of Remote Sensing Education in the United States," *Intl. Journal of Remote Sensing*, 4(2):235-245.
- Jensen, J. R. and S. Schill, 2000, "Bi-directional Reflectance Distribution Function (BRDF) of Smooth Cordgrass (*Spartina alterniflora*)," *Geocarto International*, 15(2):21-28.
- Jensen, J. R., Botchway, K., Brennan-Calvin, E., Johannsen, C., Juma, C., Mabogunje, A., Miller, R., Price, K., Reining, P., Skole, D., Stancioff, A. and D. R. F. Taylor, 2002, *Down to Earth: Geographic Information for Sustainable Development in Africa*, Washington: National Academy Press, 155 p.
- Jensen, J. R., Qiu, F. and K. Patterson, 2001, "A Neural Network Image Interpretation System to Extract Rural and Urban Land Use and Land Cover Information fro Remote Sensor Data," *Geocarto International*, 16(1):19-28.
- Jensen, J. R., Saalfeld, A., Broome, F., Cowen, D., Price, K., Ramsey, D., Lapine, L. and E. L. Usery, 2005, "Chapter 2: Spatial Data Acquisition and Integration," in R. B. McMaster and E. L. Usery (Eds.), *A Research Agenda for Geographic Information Science*, Boca Raton: CRC Press, 17-60.
- Johannsen, C. J., Petersen, G. W., Carter, P. G. and M. T. Morgan, 2003, "Remote Sensing: Changing Natural Resource Management," *Journal of Soil & Water Conservation*, 58(2):42-45.

- Millett, R., B., Abbott, M., R., Hardinge, I., W., Jensen, J., R., Peartman, C., J., Macaulay, M., MacDonald, J., S., Jokhanian, C., J., Macaulay, M., MacDonald, J., S., and J. S., Peartman, 2001, *Using Imaging Remote Sensing Data into Information and Applications*, Washington, NRC, 75 p.
- Millett, R., B., Abbott, M., R., Hardinge, I., W., Jensen, J., R., Peartman, 2000, "Acquisition of Bidirectional Reflectance Factor Data with Field Colorimeters," *Remote Sensing of Environment*, 73:257-269.
- Rabobis, J., 1999, "High-Tech Camera Sees What Eyes Cannot," *New York Times*, Science Section, September 14, D5.
- Riosos, C., 2002, "Introducing the Global Positioning System," in *Manual of Geospatial Science and Technology* Boscacci, J., D., Jensen, J., R., McMasters, R., B., and C. Rizos (Eds.), London: Taylor & Francis, 77-94.
- Ramaswamy, R., D., Lalcohen, A., and J., R., Jensen, 1995, "The Relationship Between NOAA-AVHRR Normalized Difference Vegetation Index and Ecosystems in Utah," *Remote Sensing of Environment*, 53:188-198.
- Rabaei, G., T., Jensen, J., R., Schill, S., R., and K., Schuckert, 2002, "Creation of Digital Terrain Models Using an Adaptive J-JIJAAR Vegetation Point Removal Process," *Photogrammetric Engineering & Remote Sensing*, 68(12):1307-1315.
- Rabaei, G., T., Jensen, J., R., Schill, S., R., and K., Schuckert, 2002, "Black Box and Breaking the Knowledge Accquisition Bottleneck of Fuzzy Systems for Remote Sensing Image Classification," *Intl. Journal of Remote Sensing*, 25(9):1749-1768.
- Qui, F., and J., R., Jensen, 2005, "Opening the Neural Network Black Box and Breaking the Knowledge Accquisition Bottleneck," *Intl. Journal of Remote Sensing*, 25(1):106.
- Purrit, E., L., 1979, "The Office of Naval Research and Geospaphy," *Annals, Association of American Geographers*, 69(1):813-819.
- AVIRIS and Landsat for Land Use Classification at the Urban Fringe," *Photogrammetric Engineering & Remote Sensing*, 70(7):813-819.
- Nekmani, R., R., Keleme, C., D., Hashimoto, H., Jolly, W., M., Plat, R., V., and A., R., Goetz, 2004, "A Comparison of Environmental Information Satellite System, <http://www.jpl.nasa.gov/>.
- NASA NPOLSS, 2006, *National Polar Orbiting Operational Environmental Satellite System*, <http://avhrr.nesdis.noaa.gov/>.
- NASA, 2006, *Airborne Visible InfraRed Imaging Spectrometer (AVIRIS) home page*, <http://aviris.jpl.nasa.gov/>.
- Krasaka, M., A., Huguenin, R., L., Beaudoin, J., L., Wamé, M., Peartman, 2003, *Information for Managing Remote Sensing, Environment, and Decision Making*, Washington, D., and J., R., Jensen, 2002, "Photogrammetric Considerations for Remote Sensing in State and Local Government," *Photogrammetric Engineering & Remote Sensing*, 70(1):125-133.
- Krasaka, M., A., Huguenin, R., L., Beaudoin, J., L., Wamé, M., Peartman, 2003, "Geovisualization Illustration," *ISPRS Journal of Photogrammetry & Remote Sensing*, 58:9-12.
- Krasaka, M., 2003, "Geovisualization Illustration," *ISPRS Journal of Photogrammetry & Remote Sensing*, 58:9-12.
- Joseph, G., 2000, "How Well Do We Understand Earth Observation Electro-optical Sensor Parameters?" *ISPRS Journal of Photogrammetry & Remote Sensing*, 55:9-12.
- Lighth, D., L., and J., R., Jensen, 2002, "Photogrammetric and Digital Photogrammetry with Aerial Photographs," *Annals of the Association of American Geographers*, 92(2):241-266.
- Liverman, D., Moran, E., R., Mandliss, R., R., and F., C., Stern, 1998, People and Pixels: Linking Remote Sensing and Social Science, Washington, NRC, 244 p.
- Lloyd, R., Hodgeson, M., E., and A., Stokes, 2002, "Visual Classification with Aerial Photographs," *Annals of the Association of American Geographers*, 92(2):241-266.
- Li, D., and Q., Wenq, 2004, "Spectral Mixture Analysis of the Urban Landscape in Indianapolis with Landsat ETM+ Imagery," *Photogrammetric Engineering & Remote Sensing*, 70(9):1053-1062.
- Maunder, D., E., (Ed.), 2001, *Digital Elevation Model Techniques and Applications*, Bethesda: ASPRS, 338 p.
- McLever, D., K., and M., A., Pricl, 2002, "Using Prior Probabilities in Decision-tree Classification of Remotely Sensed Data," *Remote Sensing of Environment*, 81:253-261.

- Schill, S., Jensen, J. R., Raber and D. E. Porter, 2004, "Temporal Modeling of Bidirectional Reflection Distribution Function (BRDF) in Coastal Vegetation," *GIScience & Remote Sensing*, 41(2):116-135.
- Seong, J. C. and E. L. Usery, 2001, "Fuzzy Image Classification for Continental-Scale Multitemporal NDVI Images Using Invariant Pixels and an Image Stratification Method," *Photogrammetric Engineering & Remote Sensing*, 67(3):287-294.
- Shippert, P., 2004, *Spotlight on Hyperspectral*, Boulder: Research Systems, [www.geospatial\\_online.com/shippert](http://www.geospatial_online.com/shippert), 5 p.
- Skidmore, A. K., 2002, "Chapter 2: Taxonomy of Environmental Models in the Spatial Sciences," in *Environmental Modelling with GIS and Remote Sensing*, A. K. Skidmore (Ed.), London: Taylor & Francis, 8-25.
- Stow, D., Coulter, L., Kaiser, J., Hope, A., Service, D., Schutte, K. and A. Walters, 2003, "Irrigated Vegetation Assessments for Urban Environments," *Photogrammetric Engineering & Remote Sensing*, 69(4):381-390.
- Strahler, A. H., Woodcock, C. E. and J. A. Smith, 1986, "On the Nature of Models in Remote Sensing," *Remote Sensing of Environment*, 20:121-139.
- Teillet, P. M., Gauthier, R. P., Chichagov, A. and G. Fedosejevs, 2002, "Towards Integrated Earth Sensing: Advanced Technologies for in situ Sensing in the Context of Earth Observation," *Canadian Journal of Remote Sensing*, 28(6):713-718.
- Townshend, J. R. G. and C. O. Justice, 2002, "Towards Operational Monitoring of Terrestrial Systems by Moderate-resolution Remote Sensing," *Remote Sensing of Environment*, 83:351-359.
- Tullis, J. A. and J. R. Jensen, 2003, "Expert System House Detection in High Spatial Resolution Imagery Using Size, Shape, and Context," *Geocarto International*, 18(1):5-15.
- Walsh, S. J., Evans, T. P., Welsh, W. F., Entwistle, B. and R. R. Rindfuss, 1999, "Scale-dependent Relationships Between Population and Environment in N.E. Thailand," *Photogrammetric Engineering & Remote Sensing*, 65(1):97-105.
- Wolter, J. A., 1975, The Emerging Discipline of Cartography, Minneapolis: University of Minnesota, Department of Geography, unpublished dissertation. Woodcock, C. E., Collins, J. B., Jakabhaazy, V., Li, X., Macomber, S. and Y. Wu, 1997, "Inversion of the Li-Strahler Canopy Reflectance Model for Mapping Forest Structure," *IEEE Transactions Geoscience & Remote Sensing*, 35(2):405-414.
- Zhan, X., Sohlberg, R. A., Townshend, J. R. G., DiMiceli, C., Carroll, M. L., Eastman, J. C., Hansen, M. C. and R. S. De-Fries, 2002, "Detection of Land Cover Changes Using MODIS 250 m Data," *Remote Sensing of Environment*, 83:336-350.
- Zhang, Q. and J. Wang, 2003, "A Rule-based Urban Land Use Inferring Method for Fine-resolution Multispectral Imagery," *Canadian Journal of Remote Sensing*, 29(1):1-13.

